

# MALDI-TOF MS et détection de la résistance aux antibiotiques

DORTEL Laurent

# MALDI-TOF MS : C'est quoi ?

## Comment ça marche ?

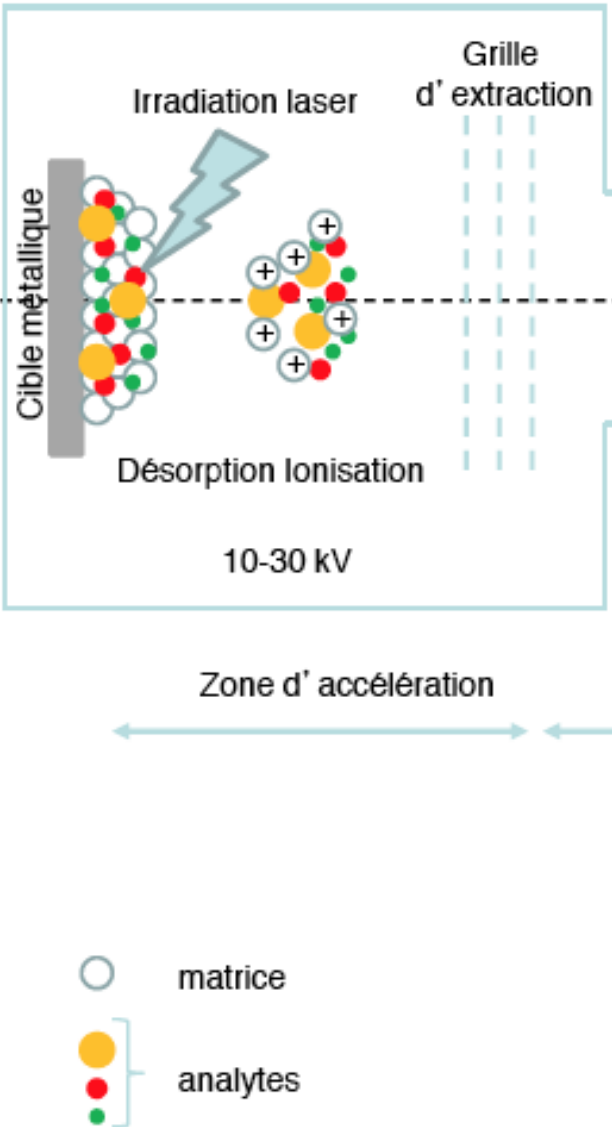
**MALDI-TOF MS= Matrix Assisted Laser Desorption Time of Flight Mass Spectrometry**

Principe : Transformer des molécules présentes dans l'échantillon de leur état naturel en ions gazeux et obtenir leur mass moléculaire en analysant le rapport masse/charge ( $m/z$ )

# Principe de ionisation

- Impact électronique ou électro-ionisation (EI)
- Ionisation chimique (CI)
- Photo-ionisation (PI)
- Electro Spray Ionisation
- **Ionisation-Desorption**
  - Emission ionique secondaire (SISMS : Secondary Ion MS)
  - Bombardement par des atomes rapides (FAB : Fast Atom Bombardment)
  - Désorption plasma (PDMS : Plasma desorption MS)
  - Désorption Laser : (LDMS : Laser Desorption MS)  
**(MALDI : Matric Assisted Laser Desorption Ionization)**

## Source MALDI

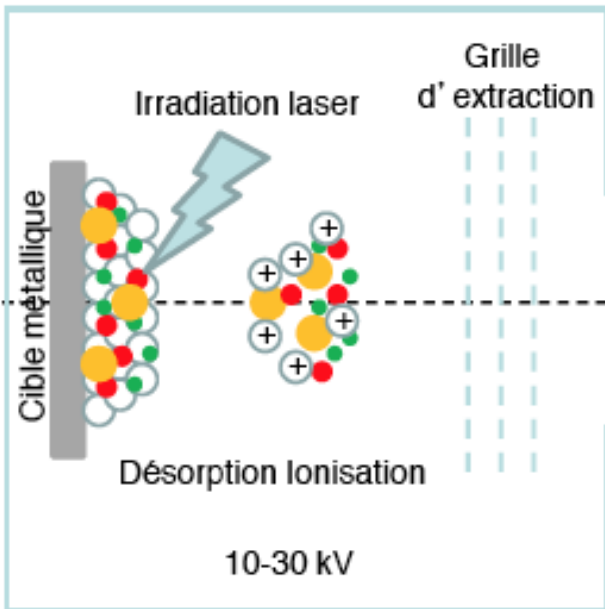


TOF : Time Of Flight

## Phase MALDI : Matrix Assisted Laser Desorption

- Absorption de photons UV (émis par le laser) par la matrice
- Excitation puis ionisation de la matrice
- Relaxation de la matrice
- Dissociation de la matrice entraînant l'échantillon
- Passage en phase gazeuse (nuage matrice + échantillon)
- Transfer de charge vers les molécules de l'échantillon

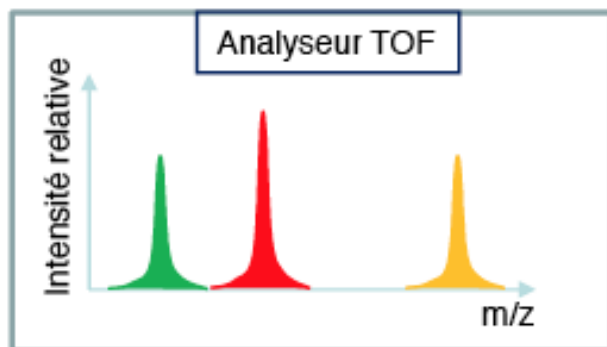
# Source MALDI



**Phase TOF : Time of Flight**  
Accélération des particules chargé dans un champ électrostatique

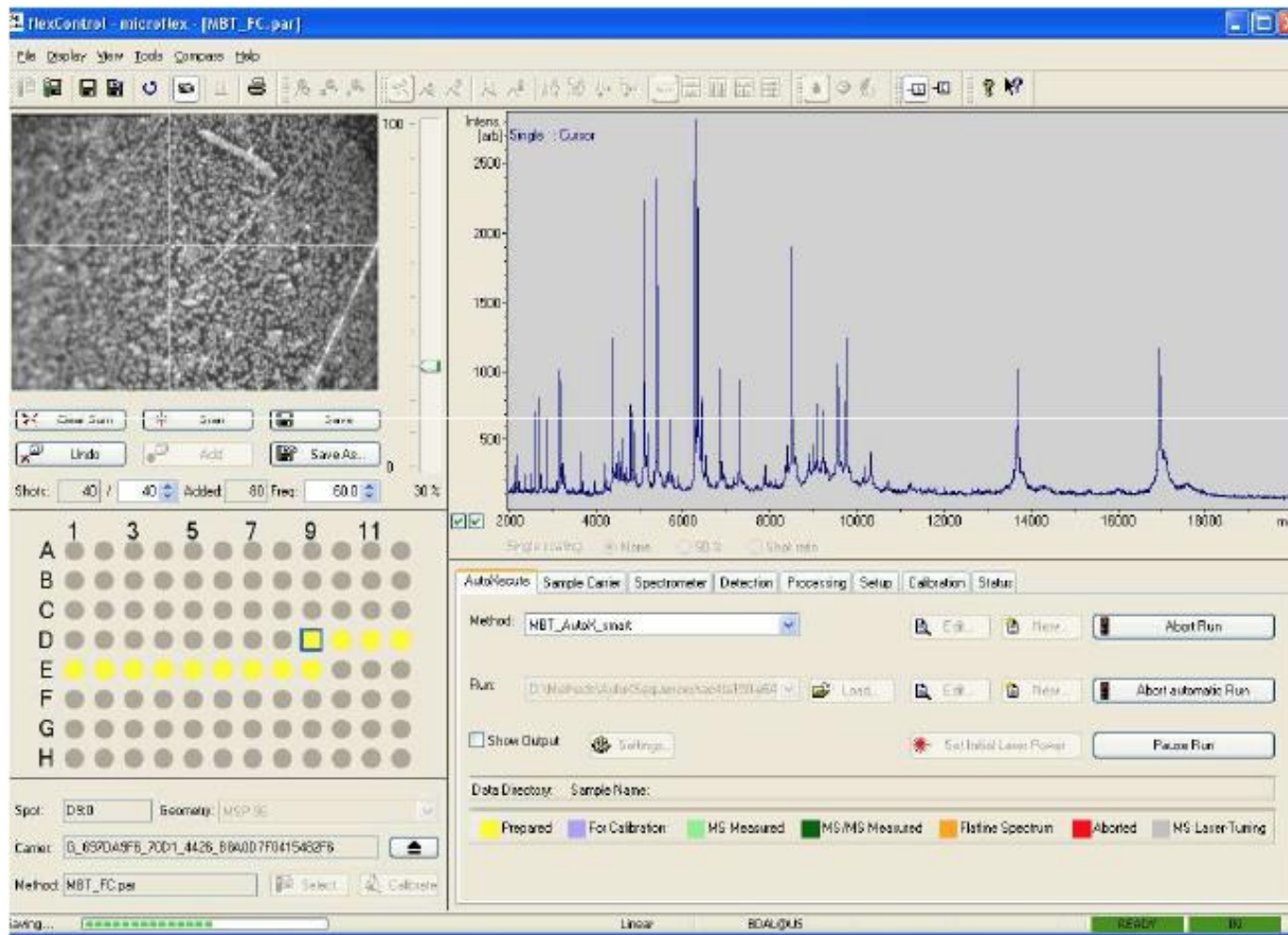


# Détection



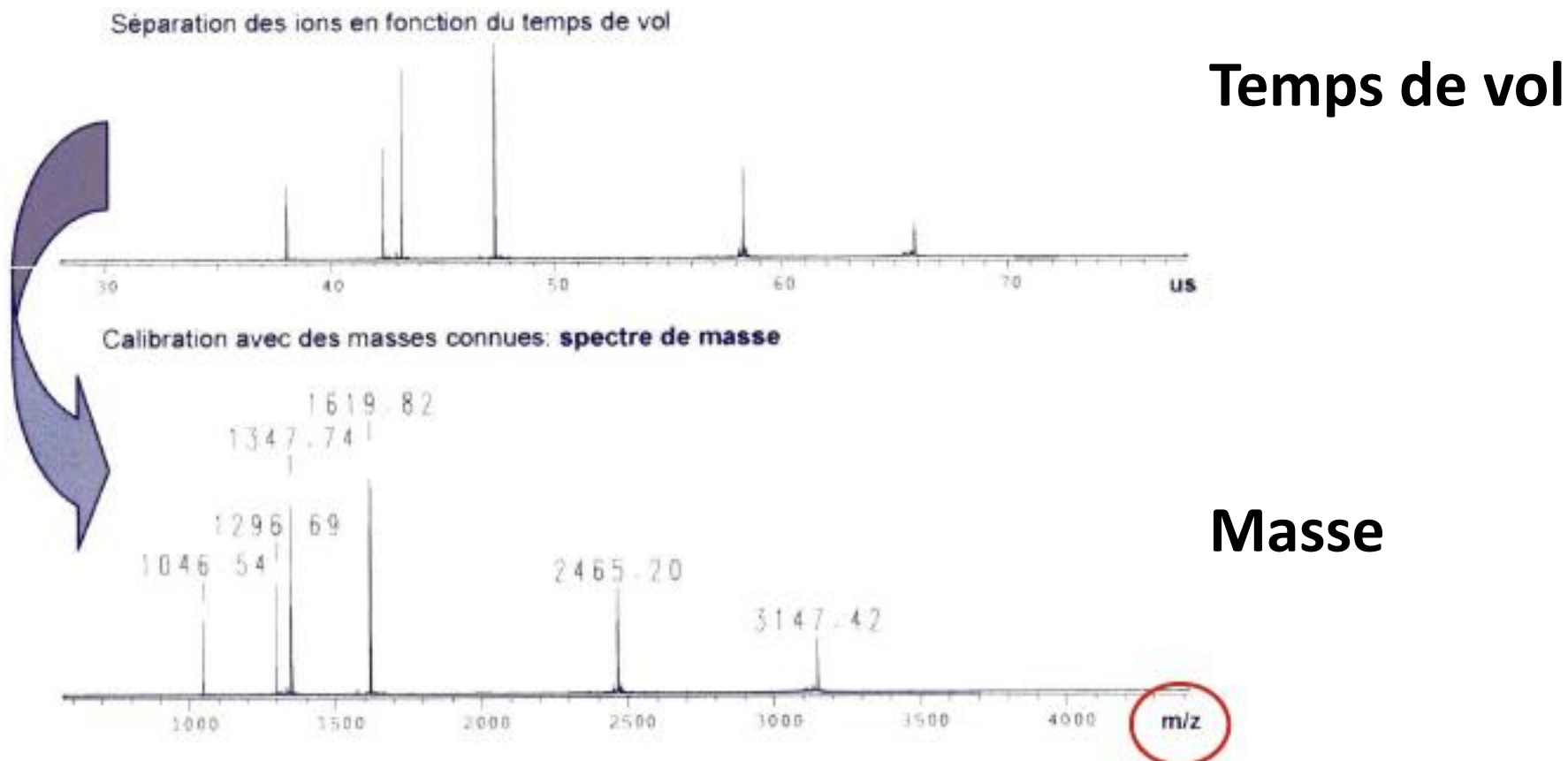
TOF : Time Of Flight

# Acquisition et Détection d'un spectre en temps réel



# Le spectre obtenu en TOF est converti en spectre de masse par calibration avec des masses connues

Passage de l'échelle temps à l'échelle masse

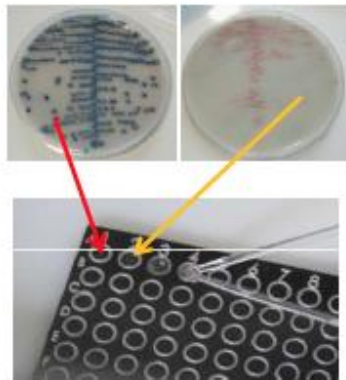


Le TOF de chaque molécule est caractéristique de cette molécule

# Rôle de la technologie MALDI-TOF MS dans un laboratoire de microbiologie

## □ Identification des microorganismes (bactéries, levures)

Dépôt des échantillons

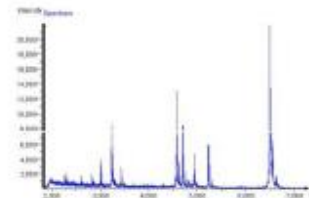


Acquisition des spectres



Analyse des spectres

Banque de données



Identification

A1 : *Klebsiella pneumoniae*  
A2 : *Staphylococcus saprophyticus*  
A3 : etc.....

Transfert des données au système informatique du laboratoire



# Rôle de la technologie MALDI-TOF MS dans un laboratoire de microbiologie

## □ Etude de clonalité, comparaison de souches

*En développement*

## □ Etude de la sensibilité aux agents anti-infectieux

- Identification de clones résistants par spectrométrie de masse globale
- Détection de la croissance bactérienne en présence d'antibiotique
- Détection de la dégradation d'un antibiotique
- Détection de la modification de la cible d'un antibiotique
- Détection de protéines responsable de la résistance par MS/MS

# Identification de clones résistants par spectrométrie de masse globale

(WCMS: whole-cell mass spectrometry)

- Utilisation du spectre obtenu pour l'identification pour effectuer le typage
- Nécessité que le **marqueur** de résistance utilisé soit **dans le range de détection** des protéines détectées par WCMS
- Ex: Détection de la **résistance à la méthiciline chez *Staphylococcus aureus* (SARM)**
  - PLP2a (76 kDa) est trop grosse et en trop faible abondance pour être détectable par MALDI-TOF-MS
  - Psm (Phenol-soluble modulin) présent chez des souches de SARM possédant une cassette SCCmec de type II, II et VIII
  - $m/z$  2415 facilement identifiable par MALDI-TOF MS
  - **Présence du pic = SARM mais absence du pic ne signifie pas SASM**

# Détection de la croissance bactérienne en présence d'antibiotique

- ❑ **Principe** : Détection et quantification de la biomasse bactérienne globale après culture en présence d'antibiotique
- ❑ Utilisation d'un contrôle interne
- ❑ Applicable pour **tous les antibiotiques** après optimisation
- ❑ Applicable sur **colonies** ou directement à partir **d'hémocultures positives**
- ❑ Etapes: - Mise en **culture** en bouillon MH **avec et sans antibiotique**
  - **Incubation** à 37°C (**1h à 4h** selon l'antibiotique et la bactérie)
  - Récupération + Lavage culot bactérien
  - Extraction protéique (acétonitrile / Ac. Formique) + addition du **contrôle interne**
- ❑ **Inconvénients majeurs:** - Chaque étape nécessite une **optimisation**
  - **Pas de corrélation avec la CMI**
  - **Pas de système commercial**

# (1) The MALDI Biotyper Antibiotic Susceptibility Test Rapid Assay (MBT-ASTRA)

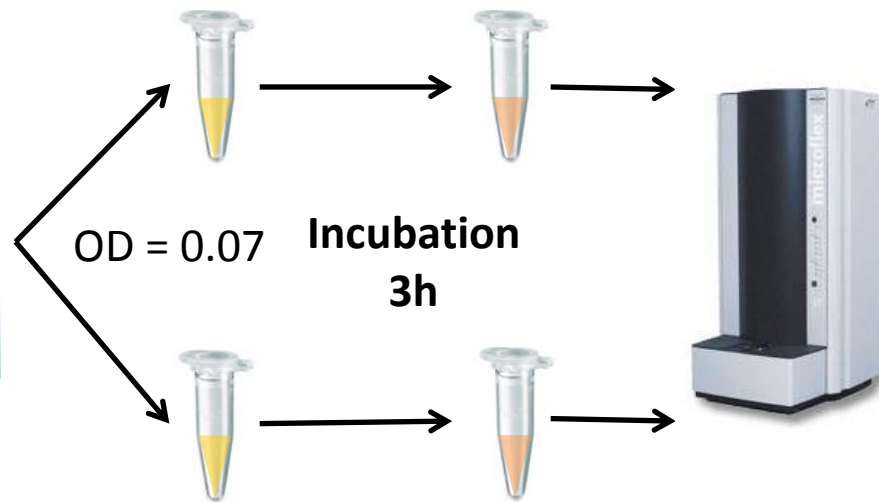


Journal of  
Clinical Microbiology



Evaluation of a Semiquantitative Matrix-Assisted Laser Desorption Ionization–Time of Flight Mass Spectrometry Method for Rapid Antimicrobial Susceptibility Testing of Positive Blood Cultures

200 µl Mueller-Hinton  
Sans antibiotique

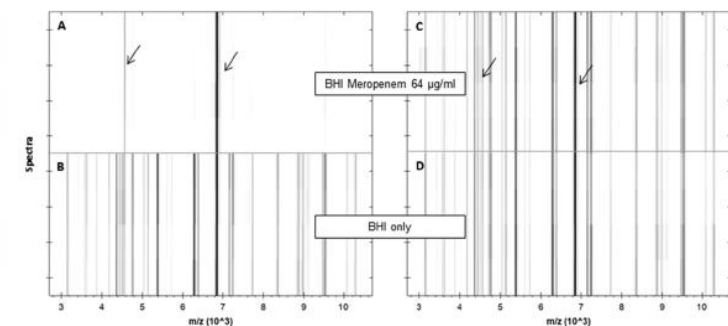


200 µl Mueller-Hinton  
+ Antibiotique  
(1 dilution au dessus  
du cut off EUCAST)

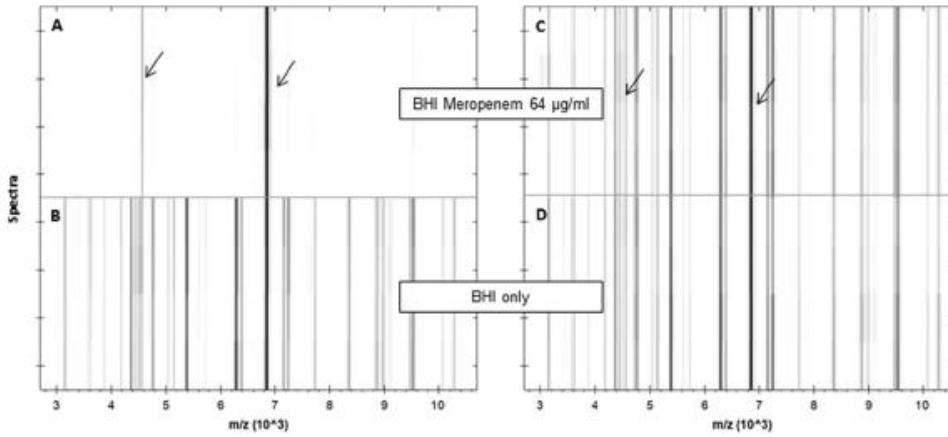
Spectre global

Souche sensible

Souche résistante

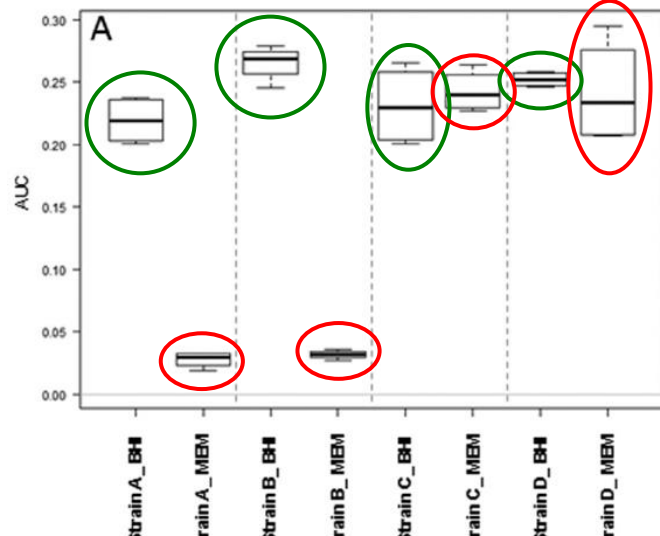


$$\text{Relative Growth} \approx \frac{\text{AUC avec Antibiotique}}{\text{AUC sans antibiotique}}$$



Spectre

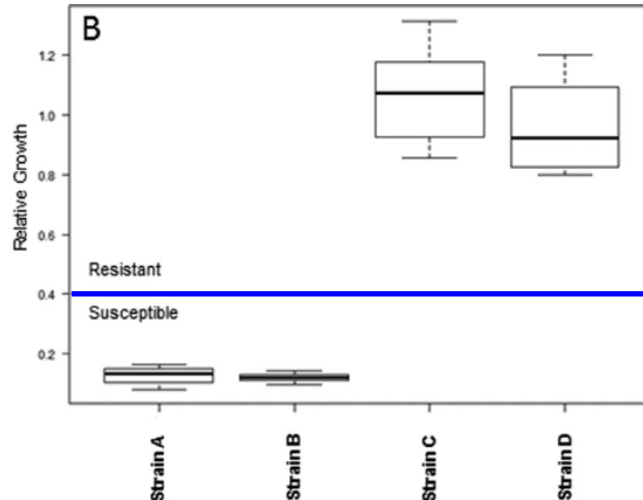
AUC



Susceptible

Resistant

$$\text{Relative Growth} \approx \frac{\text{AUC avec antibiotique}}{\text{AUC sans antibiotique}}$$

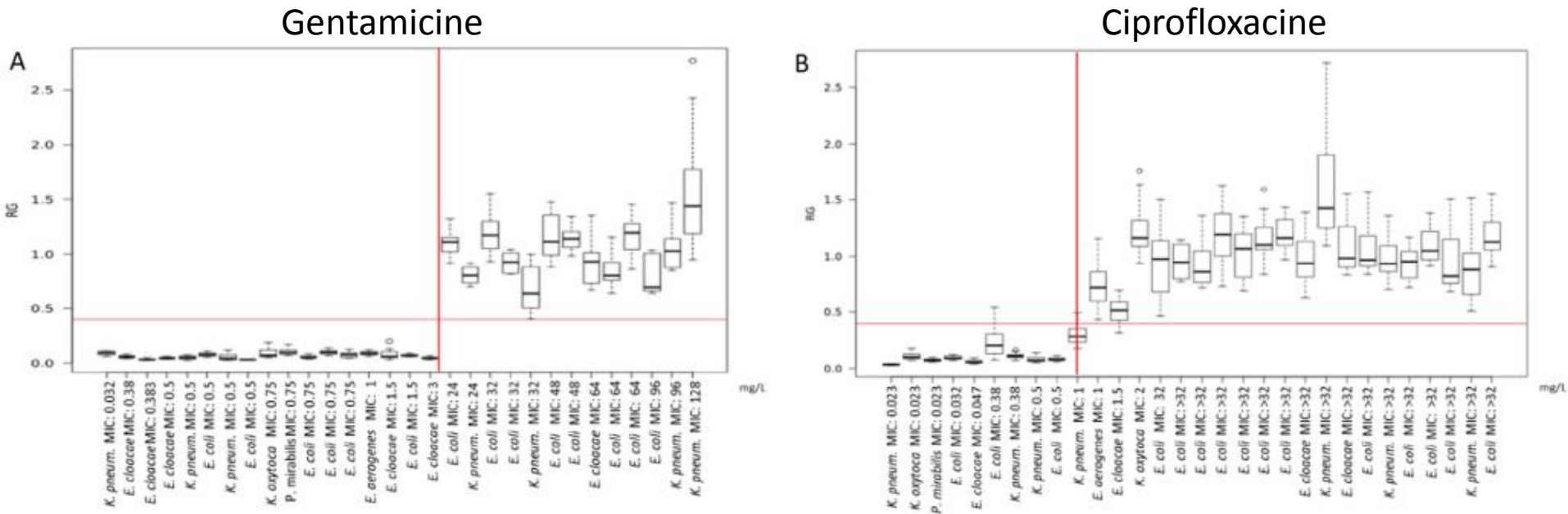


Cut-off

Susceptible

Resistant

# Evaluation of a Semiquantitative Matrix-Assisted Laser Desorption Ionization–Time of Flight Mass Spectrometry Method for Rapid Antimicrobial Susceptibility Testing of Positive Blood Cultures

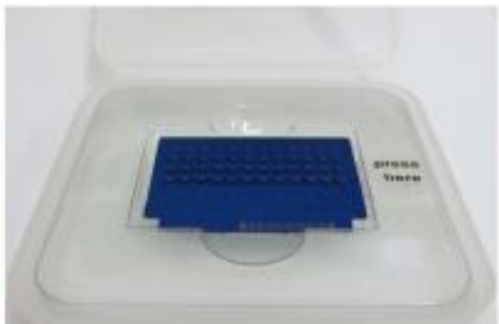


Réponse « rapide » sur S ou R  
Pas de corrélation avec la CMI  
Pas d'indication sur le mécanisme de résistance

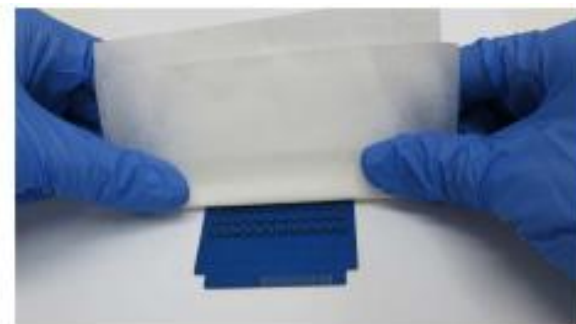
## (2) Direct-on-target microdroplet growth assay for detection of antibiotic resistance within a few hours



Microgouttes de MH (6 µl) avec et sans antibiotique + Bactérie ( $5 \cdot 10^5$  / ml)



Chambre humide d'incubation  
(4h pour *K. pneumoniae*, 5h pour *P. aeruginosa*)



Séparation du milieu de culture des bactéries par absorption puis addition de la matrice HCCA sur le spot



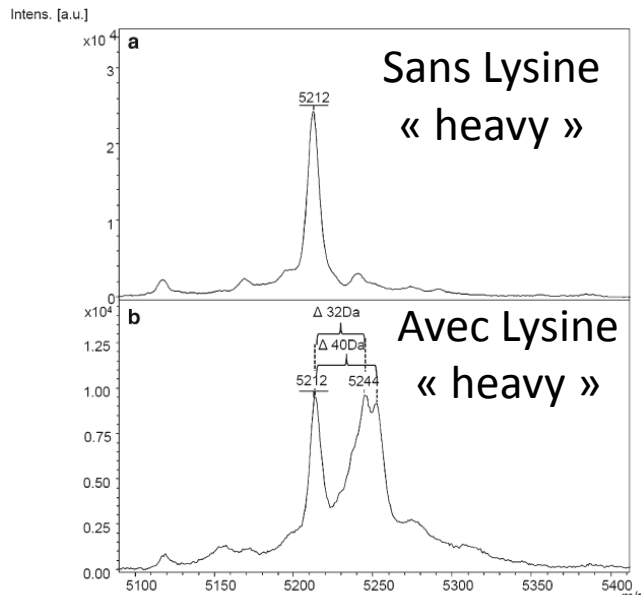
Spectre d'un souche de *K. pneumoniae* résistante ayant poussé dans du milieu de culture contenant du méropénème



Spectre d'un souche de *K. pneumoniae* sensible n'ayant poussé pas dans du milieu de culture contenant du méropénème

## (2) MBT-RESIST

- Détection de **protéines ayant incorporées** des acides aminés marqués par des **isotopes non radioactifs**
- En présence d'antibiotique seules les souches résistantes incorporent les acides aminés radioactifs en trainant une différence de masse globale des protéines par rapport aux souches sensibles.



MALDI Biotype-Based Rapid Resistance Detection by Stable-Isotope Labeling

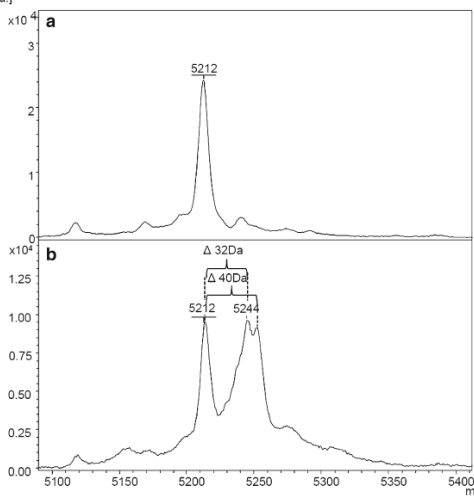
Katrin Sparbier,<sup>a</sup> Christoph Lange,<sup>a</sup> Jette Jung,<sup>b</sup> Andreas Wieser,<sup>b</sup> Sören Schubert,<sup>b</sup> Markus Kostrzewa<sup>a</sup>  
Bruker Daltonik GmbH, Bremen, Germany<sup>a</sup>; Max von Pettenkofer-Institut, Ludwig-Maximilians-Universität, Munich, Germany<sup>b</sup>

Eur J Clin Microbiol Infect Dis (2014) 33:949–955  
DOI 10.1007/s10096-013-2031-5

ARTICLE

Rapid detection of antibiotic resistance based on mass spectrometry and stable isotopes

J. S. Jung • T. Eberl • K. Sparbier • C. Lange •  
M. Kostrzewa • S. Schubert • A. Wieser



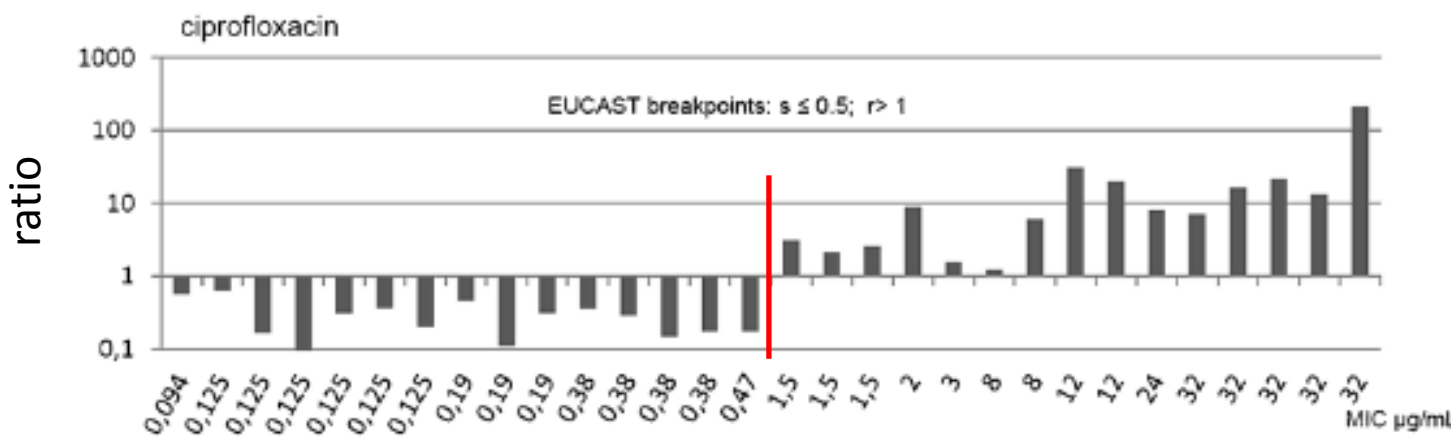
## Etude de plusieurs (10 à 20) pics entre 2 et 10 kDa

**Table 1** Ten peak shifts that were identified by visual analysis as being suitable for automated evaluation

Peak no.	<i>P. aeruginosa</i> biomarker mass native [Da]	<i>P. aeruginosa</i> biomarker mass with $^{13}\text{C}$ - $^{15}\text{N}$ -labelled lysine [Da]
1	3337	3353
2	4545	4577
3	4996	5020
4	5212	5244
5	5737	5793
6	6048	6104
7	6350	6382
8	6677	6709
9	7205	7245
10	9091	9155

$$\frac{\frac{set-upC \sum_{i(1-10)} heavy peaks}{\sum_{i(1-10)} normal peaks} - set-upA \sum_{i(1-10)} heavy peaks}{\sum_{i(1-10)} normal peaks}}{\frac{set-upB \sum_{i(1-10)} heavy peaks}{\sum_{i(1-10)} normal peaks} - set-upC \sum_{i(1-10)} heavy peaks}{\sum_{i(1-10)} normal peaks}}$$

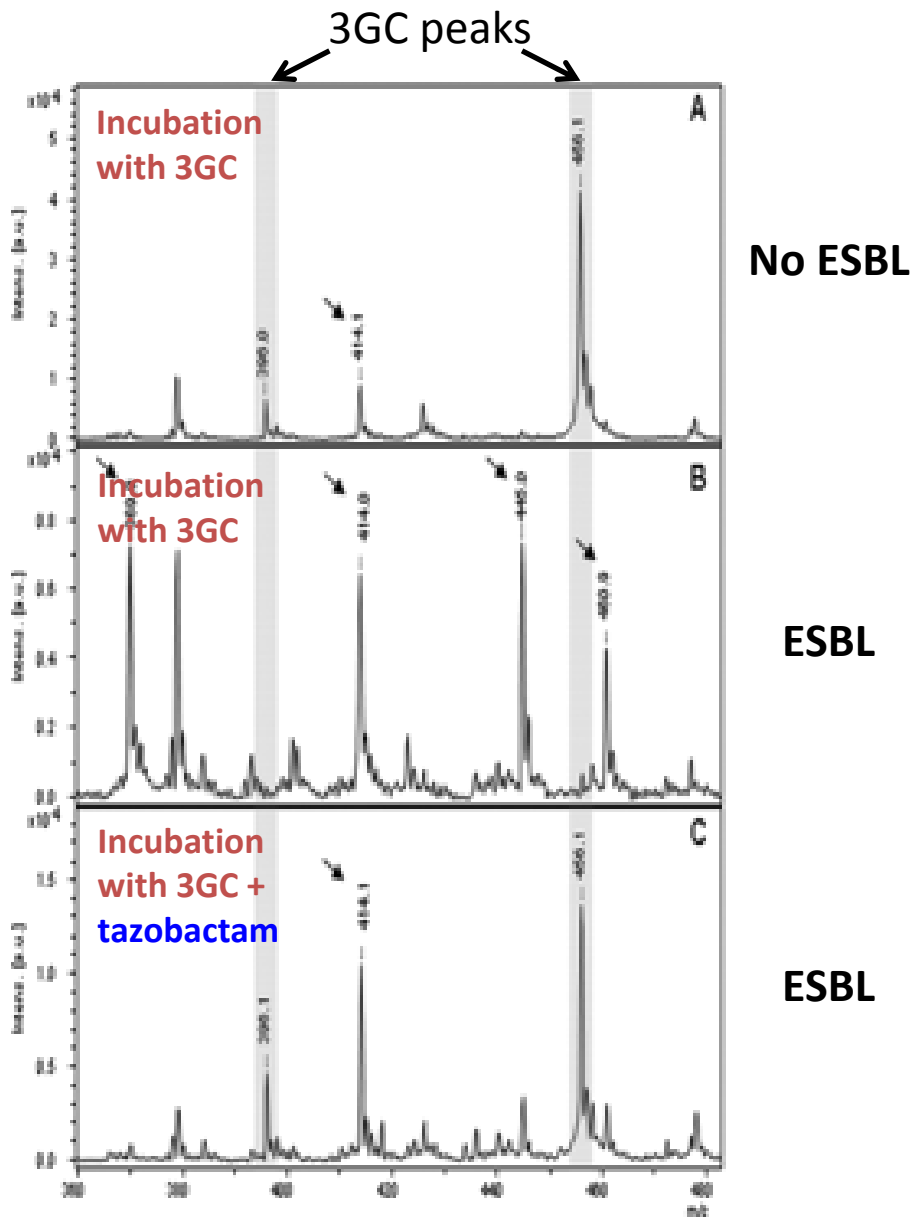
Si ratio  $\leq 1$   
Souche sensible



# Détection de la dégradation d'un antibiotique

- **Principe :** Détection et quantification de l'antibiotique résiduel après incubation avec la bactérie
- Applicable pour les mécanismes de résistance impliquant la dégradation de l'antibiotique : **β-lactamines +++** (STAR-BL, Bruker)
- Applicable sur **colonies** ou directement à partir **d'hémocultures positives**
- Etapes: - Mise en **culture** en bouillon MH **avec antibiotique**
  - **Incubation** à 37°C (**30 min à 2-3h** selon l'antibiotique et la bactérie)
  - Lavage culot bactérien + Dépôt direct sur la plaque MALDI
- **Inconvénients:** - **Pas de corrélation avec la CMI**
  - Plage de valeur différente de celle utilisée pour l'identification bactérienne
  - **Reproductibilité inter-laboratoire**

# Détection rapide des BLSE par MALDI-TOF MS



- **Sur colonies**

(Li B et al., Med Sci Monit Basic Res 2014)

- **A partir d'hémocultures positives** (Oviaño M et al., CMI 2014)

**Système commercial en cours de développement pour la détection des BLSE et des céphalosporinases**

# Détection rapide des carbapénèmases par MALDI-TOF MS



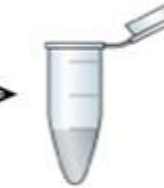
Carbapenem  
solution



Incubation 37° C  
20 min – 4h



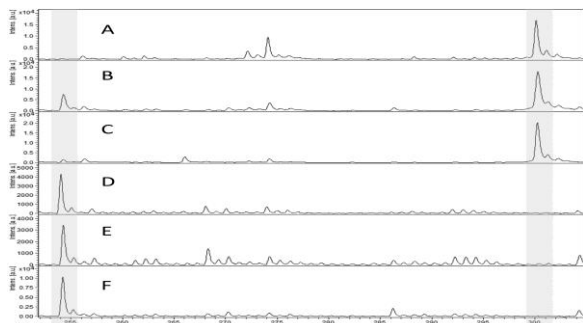
Centrifugation  
2 min 12000G



Surpernatant



Bacteria: loop 1-10 µL



Analysis of the spectra



MALDI-TOF



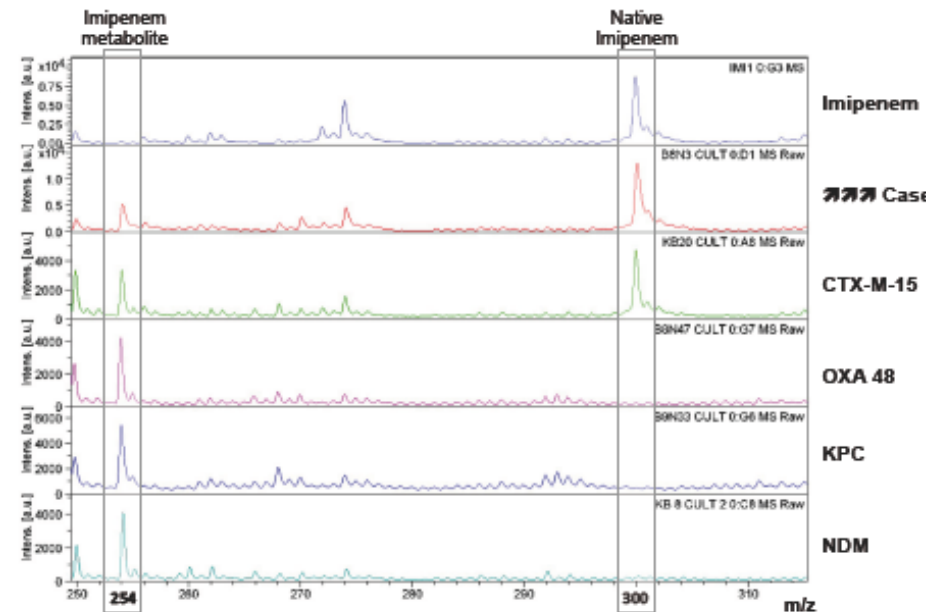
Target :  
1µL supernatant + 1µL matrix  
STAR-BL

## Principe :

Disparition du pic correspondant à l'imipénème natif (+/- apparition du métabolite résultant de l'hydrolyse en présence d'une carbapénémase

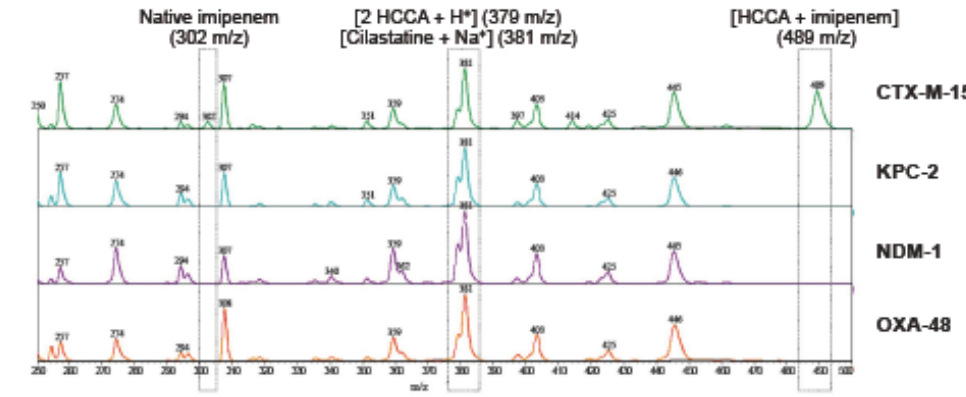


MALDI Biotype®



**Reproductibilité variable** du fait de pratiques différentes :

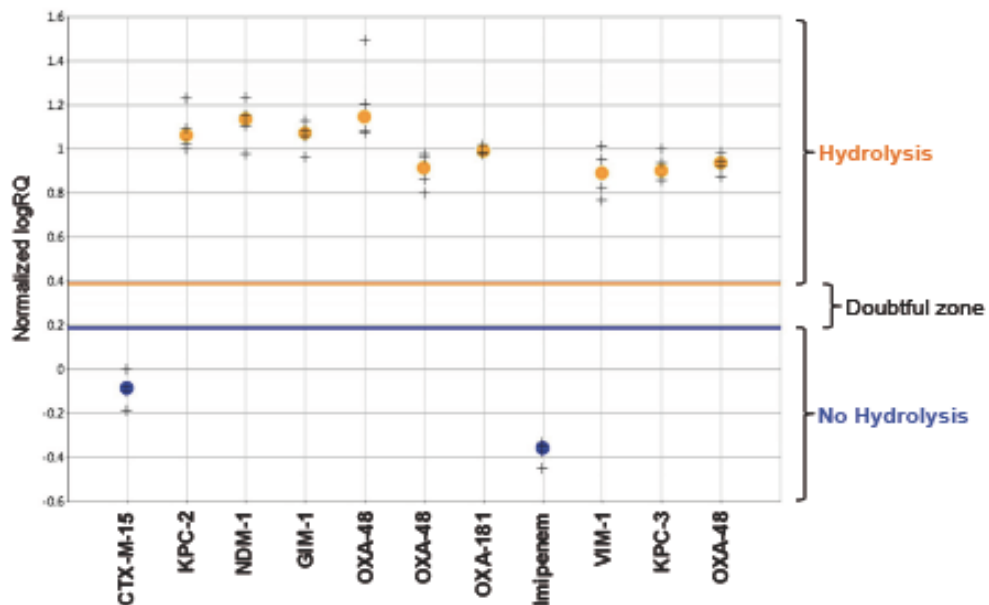
- Carbapénème utilisé
- Equipement MALDI-TOF
- Read-out (+/- métabolite)
- Inoculum
- Temps d'incubation



# Système commercial disponible 2017



MALDI Biotype®



Sample	Species	Control ID	IMI
<i>E. coli</i> NDM-1	cfr B7	not performed	1.13 H
<i>E. cloacae</i> GIM-1	<i>E. cloac</i> A3o56	not performed	1.07 H
<i>E. cloacae</i> OXA-48	<i>E. cloac</i> TUR	not performed	1.15 H
<i>E. coli</i> OXA-48	<i>E. coli</i> BOK	not performed	0.91 H
<i>E. coli</i> OXA-181	<i>E. coli</i> BON	not performed	0.99 H
Imipenem	IMP test	not performed	-0.36 NH
<i>K. pneumoniae</i> VIM-1	Kpn DAL	not performed	0.89 H
<i>K. pneumoniae</i> KPC-3	Kpn NGU	not performed	0.90 H
<i>K. pneumoniae</i> OXA-48	Kpn ROB	not performed	0.94 H
<i>E. coli</i> CTX-M-15 (Negative control)	neg.control	not performed	-0.09 NH
<i>E. coli</i> KPC-2 (Positive control)	pos.control	not performed	1.06 H
Δ controls			1.62

Hydrolysis H

No Hydrolysis NH

# Workflow pour la détermination de la production d'une carbapénémase par MALDI-TOF MS



VITEK MS™



BRUKER

MBT STAR®-  
Carba IVD Kit



MALDI Biotype®

Colmar  
In-house



\* Final result

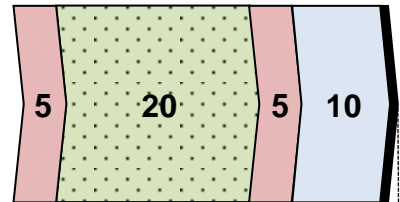
Technical handling time

Incubation time

MALDI-TOF MS measurement

Manual transfer of the results  
in the laboratory system

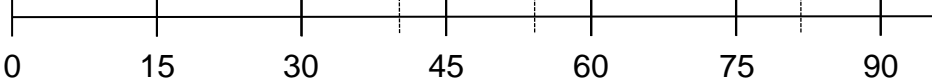
Brest  
In-house



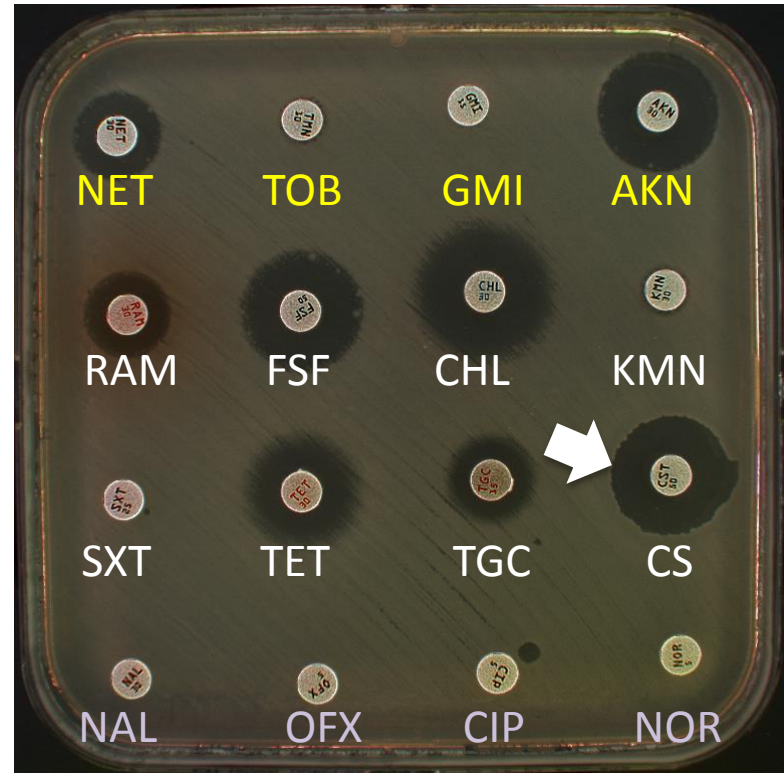
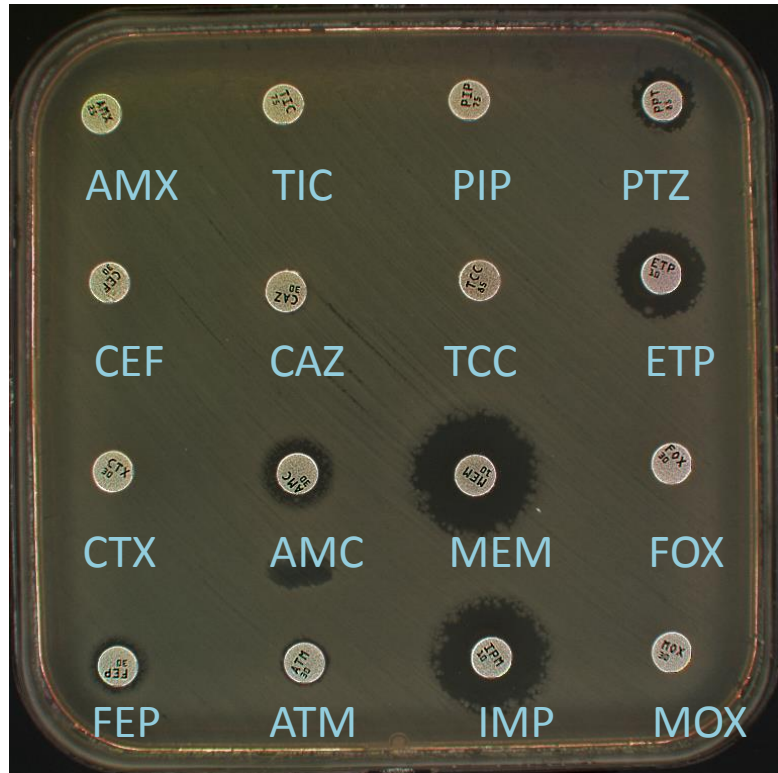
\*

\*, \*

Time (min)

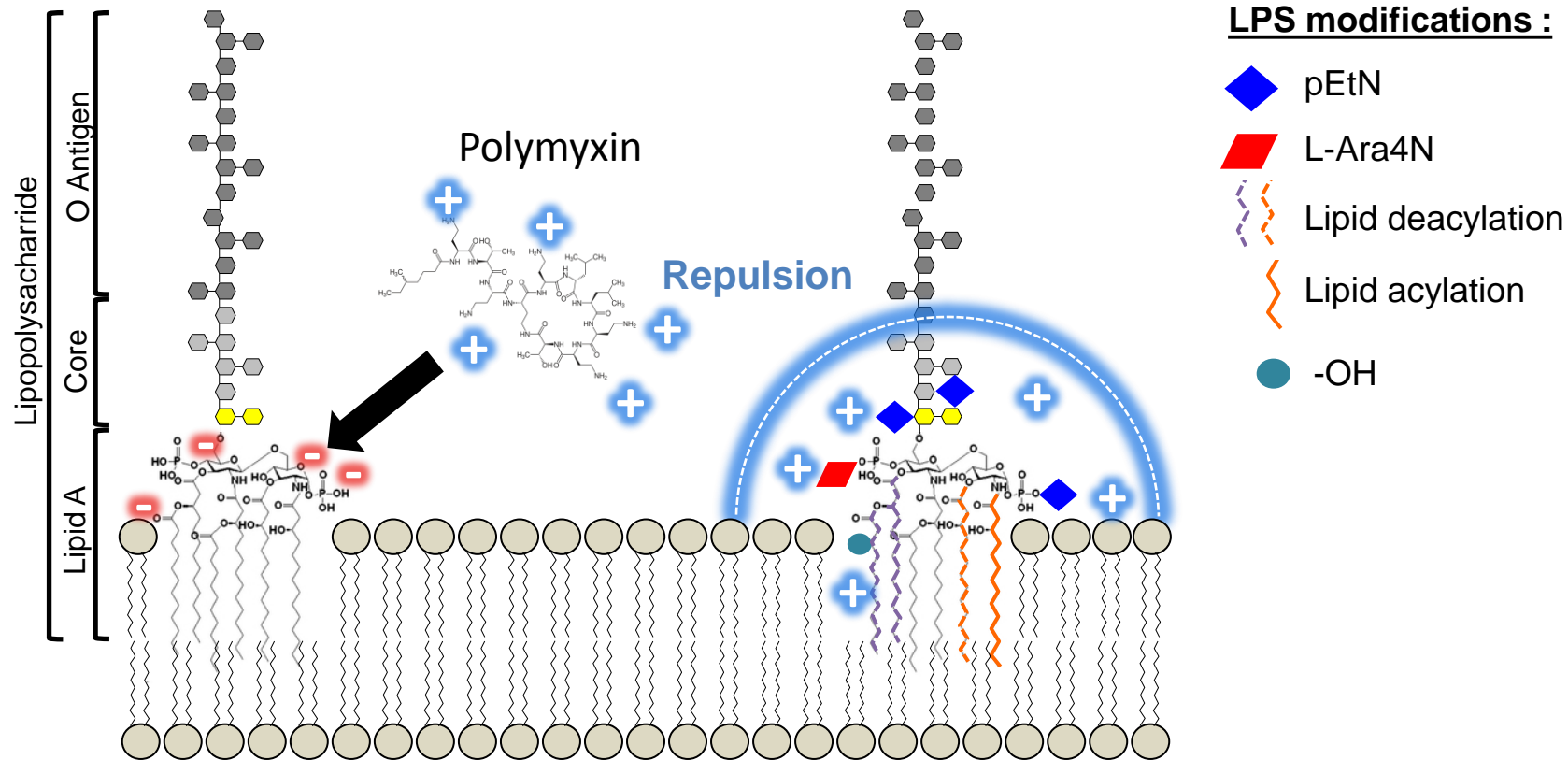


# Détection de la modification de la cible d'un antibiotique: la résistance à la colistine

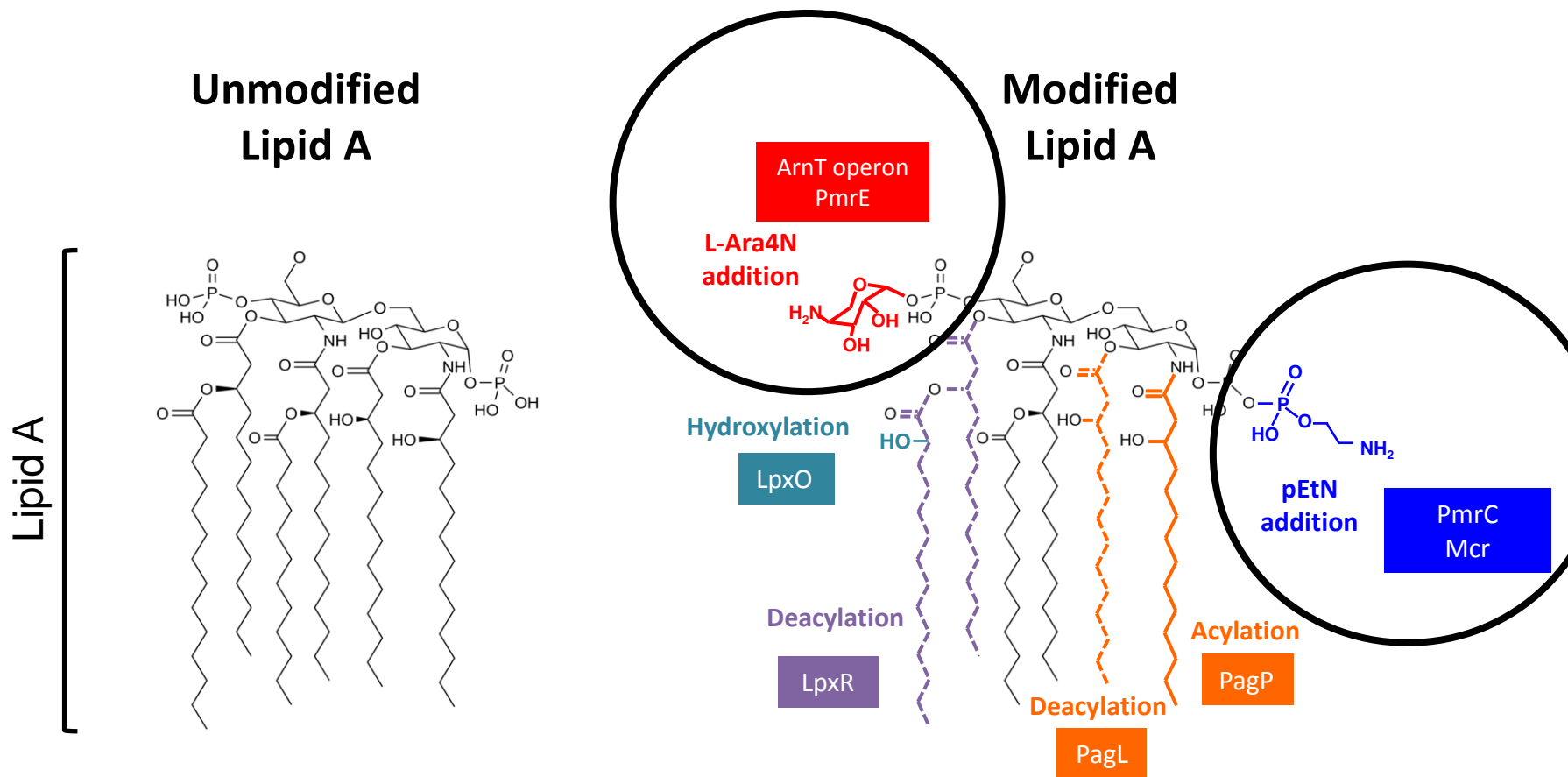


*E. coli* NDM-1 + CTX-M-15

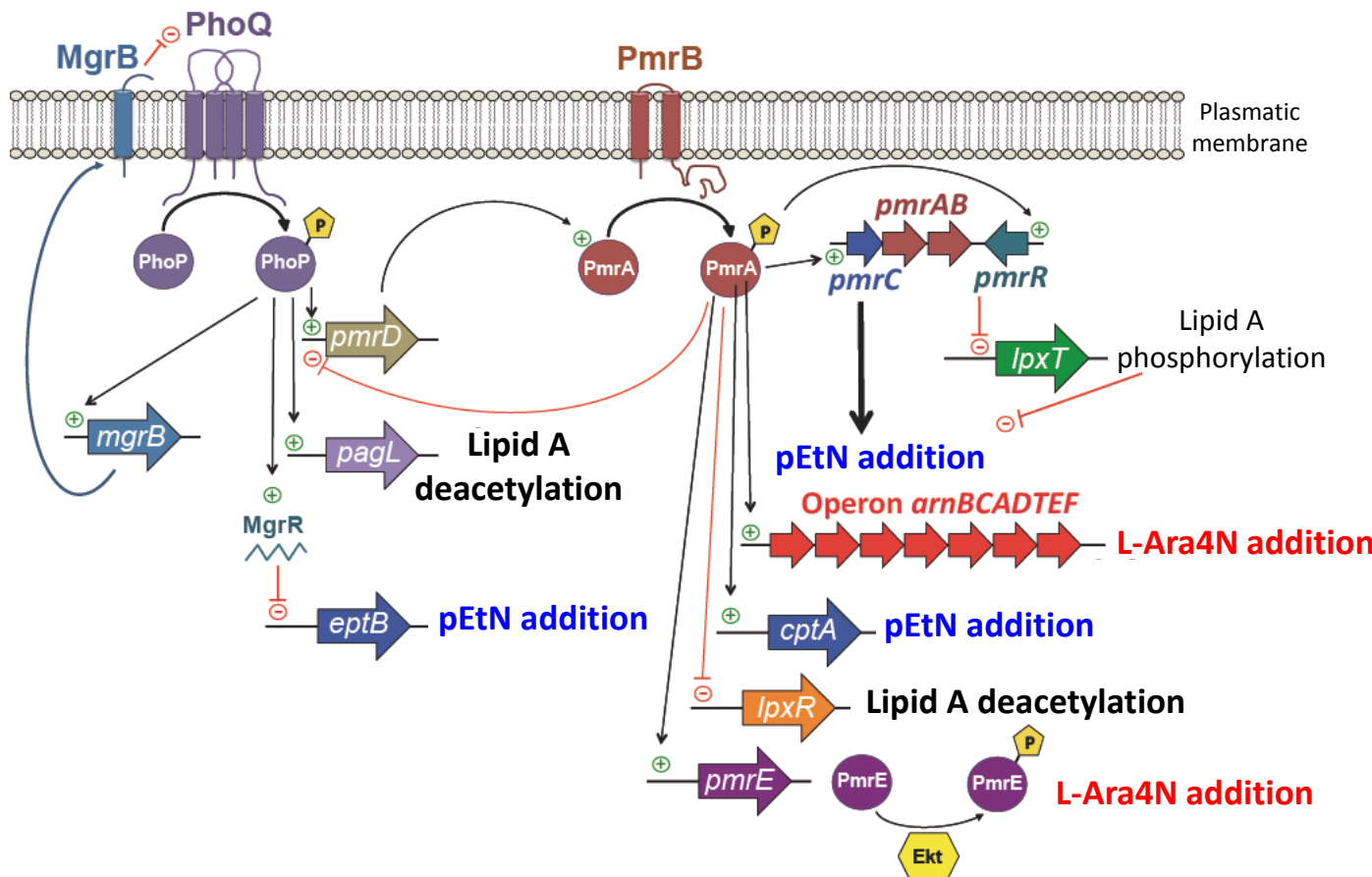
# Polymyxin resistance in *Enterobacteriaceae*



# Lipid A modifications result in polymyxin resistance



# Until november 2015, acquired resistance to polymyxins involved ONLY chromosome encoded genes



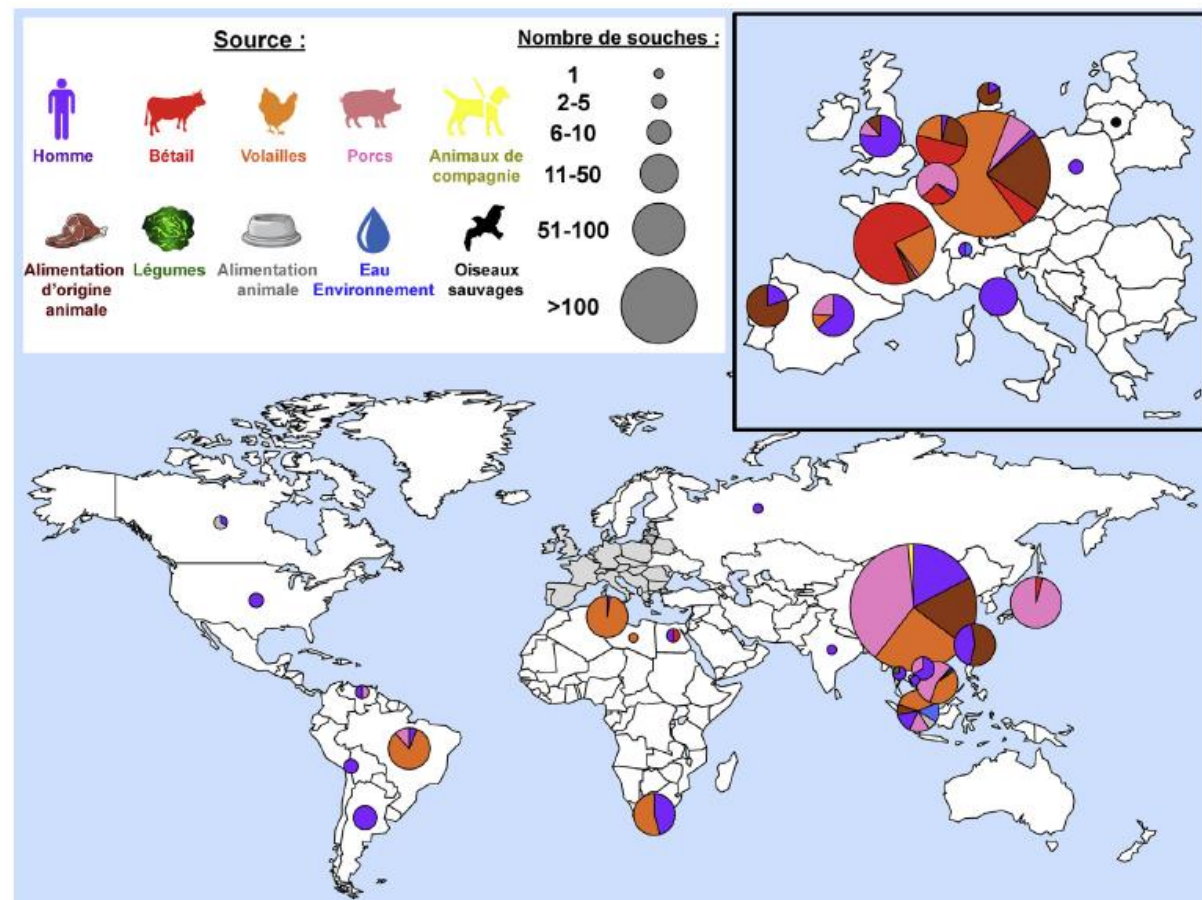
# Since november 2015, acquired resistance to polymyxins involves ALSO plasmid mediated resistance

Lancet Infect Dis

Emergence of plasmid-mediated colistin resistance mechanism MCR-1 in animals and human beings in China: a microbiological and molecular biological study

Yi-Yun Liu\*, Yang Wang\*, Timothy R Walsh, Ling-Xian Yi, Rong Zhang, James Spencer, Yohhei Doi, Guobao Tian, Baolei Dong, Xianhui Huang, Lin-Feng Yu, Danxia Gu, Hongwei Ren, Xiaojie Chen, Luchao Lv, Dandan He, Hongwei Zhou, Zisen Liang, Jian-Hua Liu, Jianzhong Shen

**MCR-1**  
Plasmid encoded  
phosphoethanolamine  
transferase



Day 0 Day 1 Day 2 Day 3 Day 4 1-3 weeks

### Research workflow

Liters of bacterial culture



→ Lipid extraction

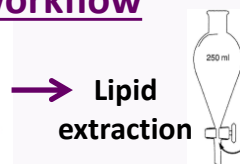


Readout  
**Lipid A**

Day 0 Day 1 Day 2 Day 3 Day 4 1-3 weeks

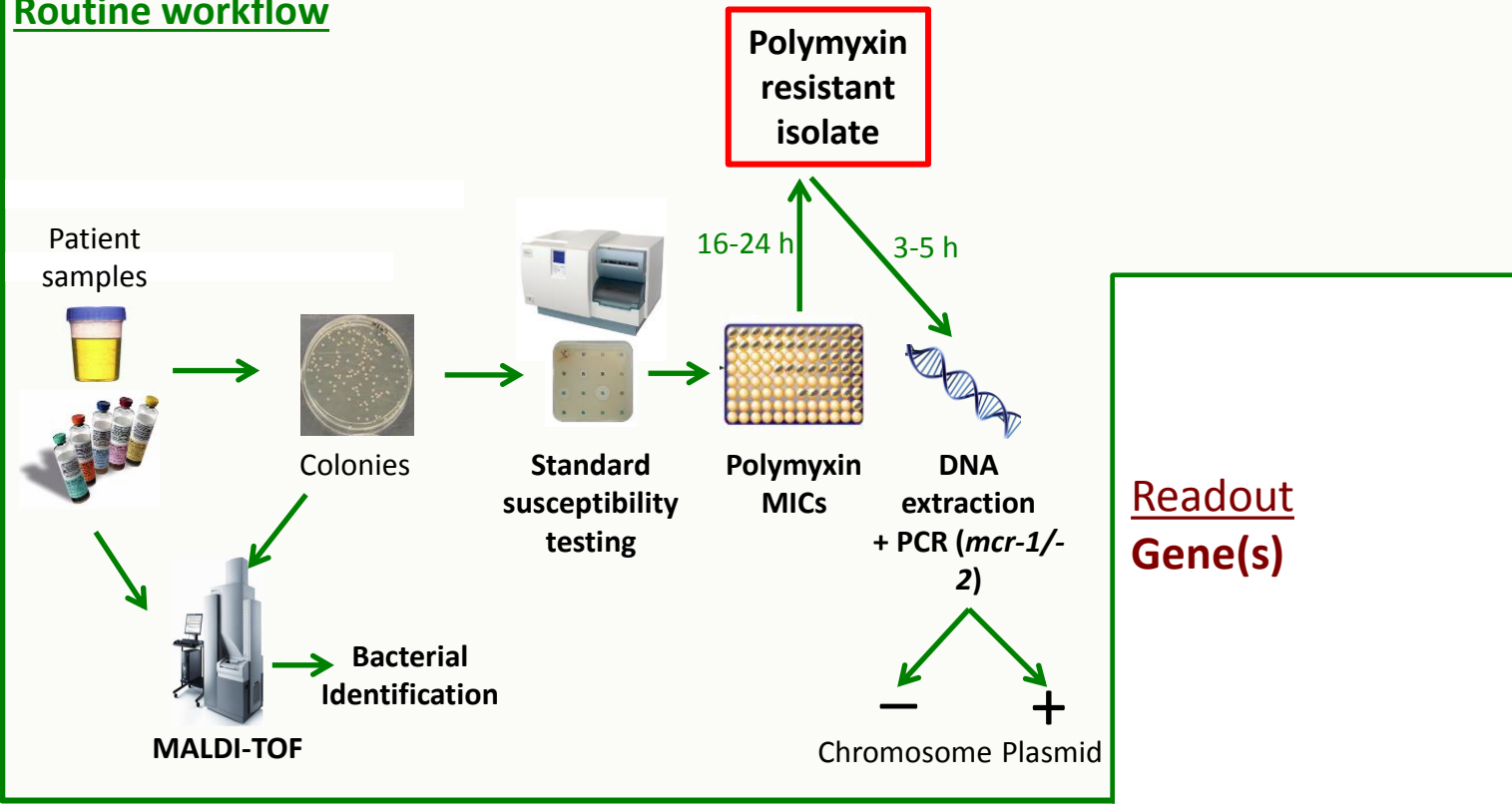
### Research workflow

Liters of bacterial culture



Readout  
Lipid A

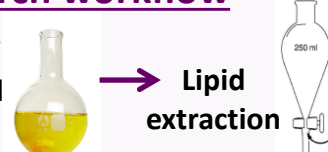
### Routine workflow



Day 0 Day 1 Day 2 Day 3 Day 4 1-3 weeks

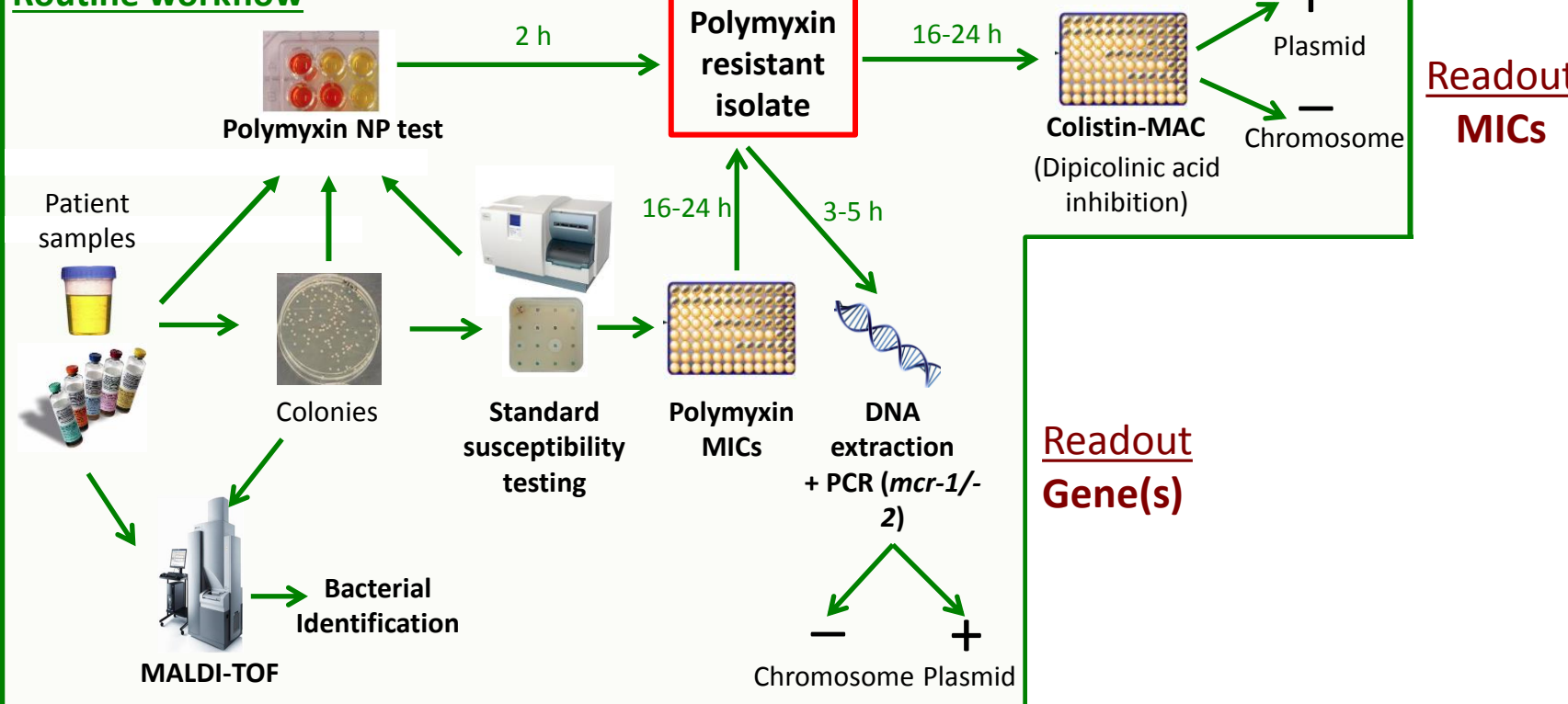
### Research workflow

Liters of bacterial culture



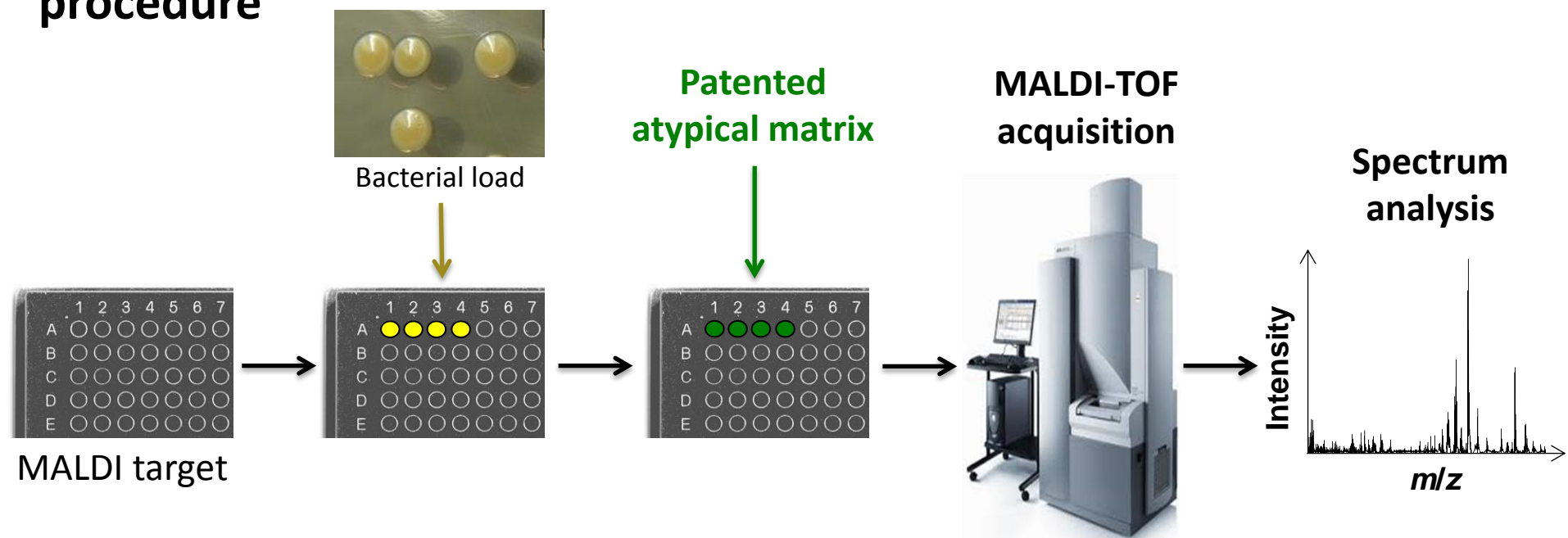
Readout  
**Lipid A**

### Routine workflow



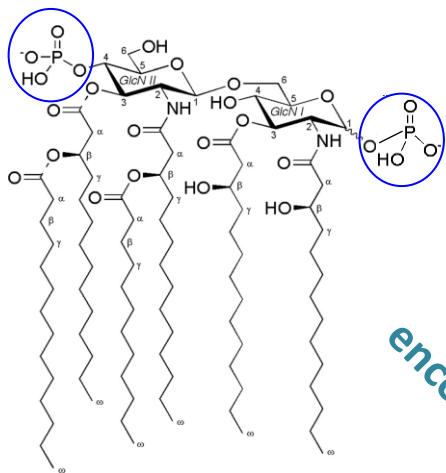
# METHOD : Extraction and identification of lipid A modifications directly on intact bacteria

15 min total procedure



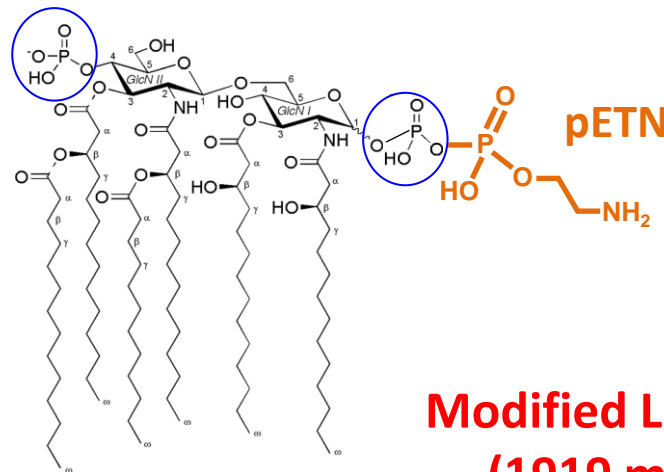
# SUSCEPTIBLE

# RESISTANT



## Lipide A natif (1796 m/z)

A diagram consisting of a dashed blue arrow pointing diagonally downwards from the word "Chromosome" to the words "encoded resistance".



# Modified Lipid A (1919 m/z)

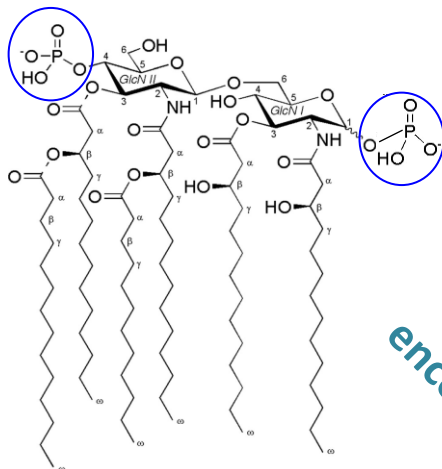
**pETN = Phosphoethanolamine group**

# Plasmid encoded resistance

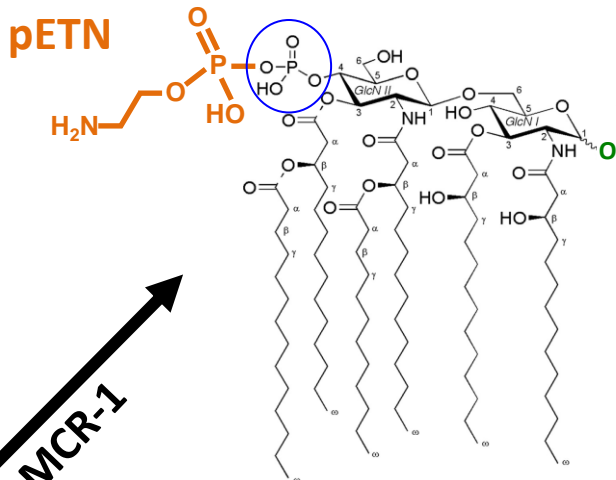
Dortet et al. Unpublished data

# SUSCEPTIBLE

# RESISTANT

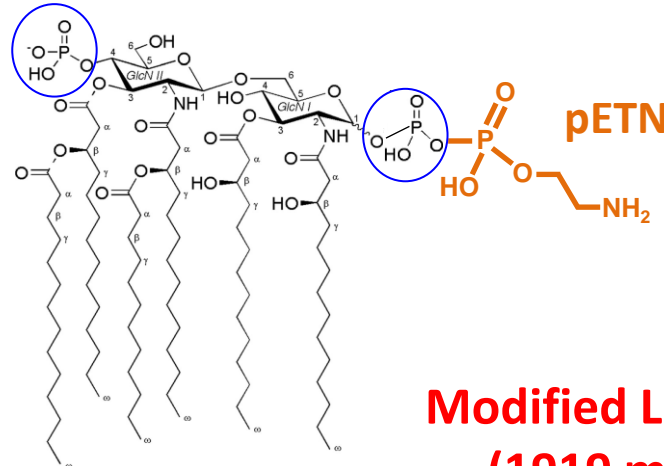


Lipide A natif  
(1796 m/z)



Modified Lipid A  
(1821 m/z)

MCR-1  
MCR-1  
Chromosome  
encoded resistance



Modified Lipid A  
(1919 m/z)

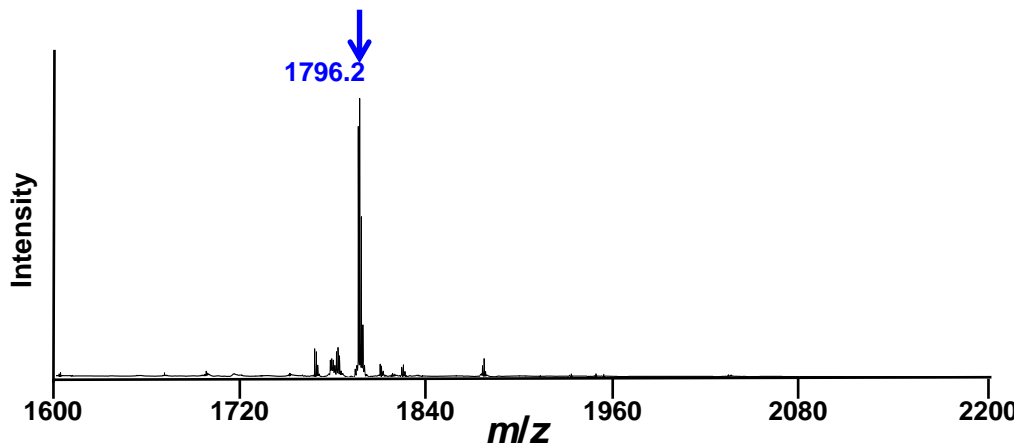
Plasmid encoded  
resistance

pETN = Phosphoethanolamine  
group

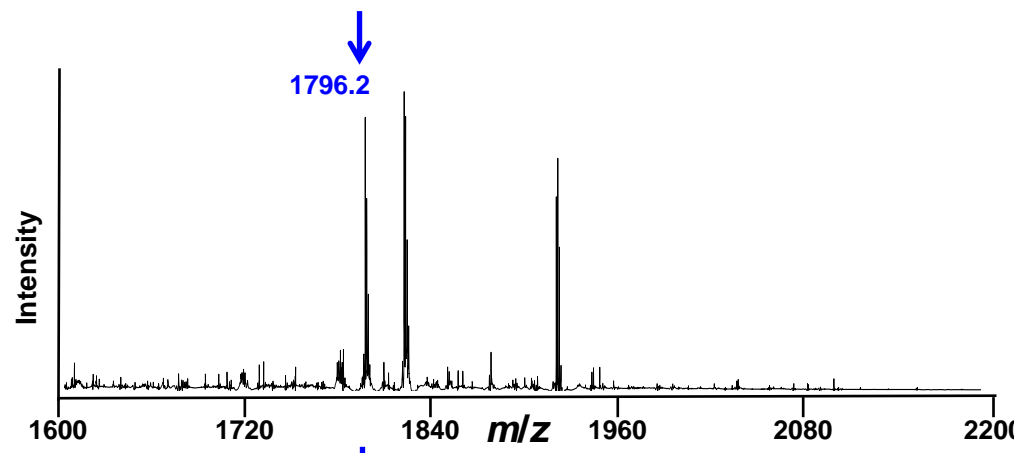


# *E. coli*

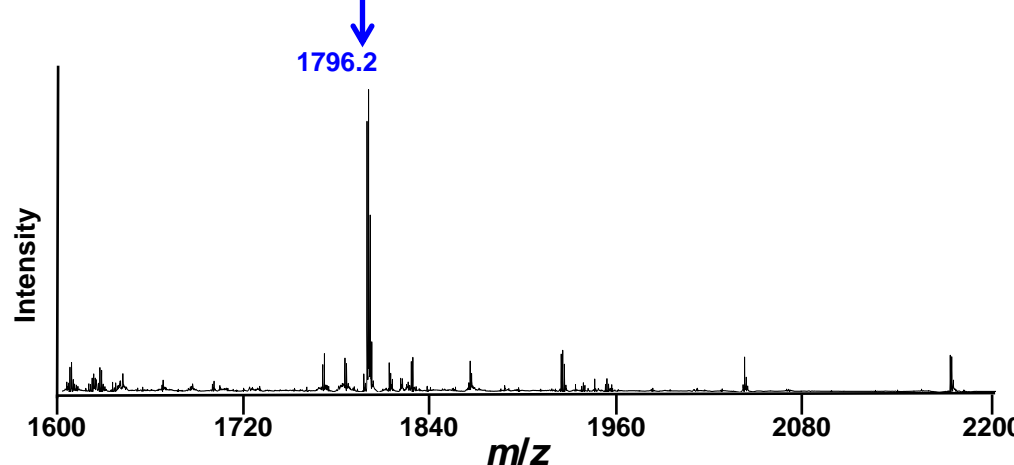
Polymyxin  
susceptible



Polymyxin  
resistant  
*mcr-1* positive

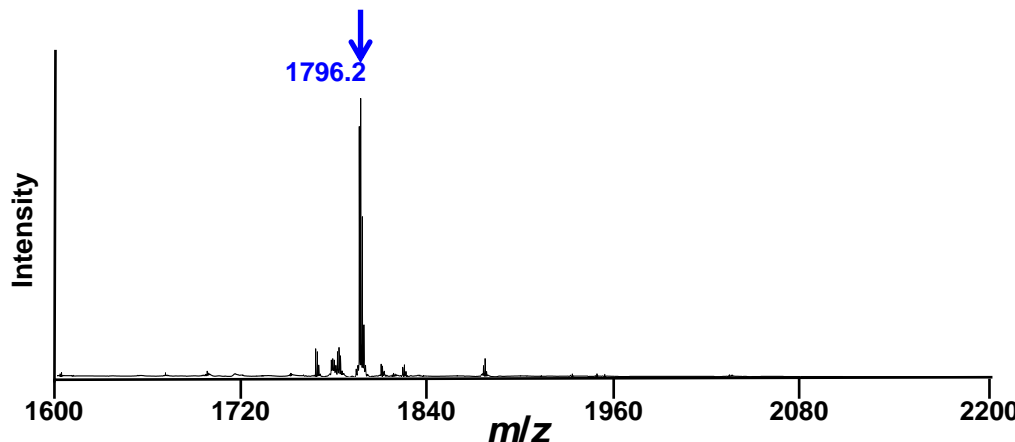


Polymyxin  
resistant  
*mcr-1* negative

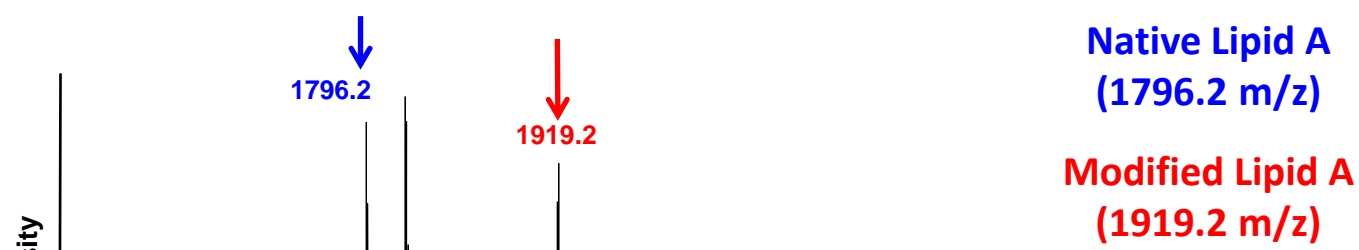


# *E. coli*

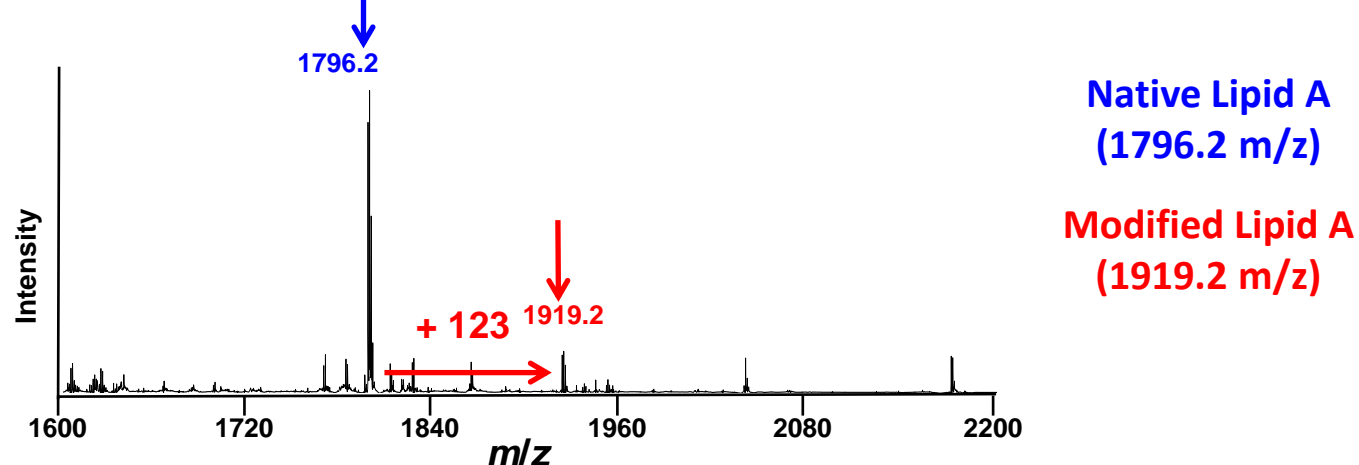
Polymyxin  
susceptible



Polymyxin  
resistant  
*mcr-1* positive  
(Plasmid)

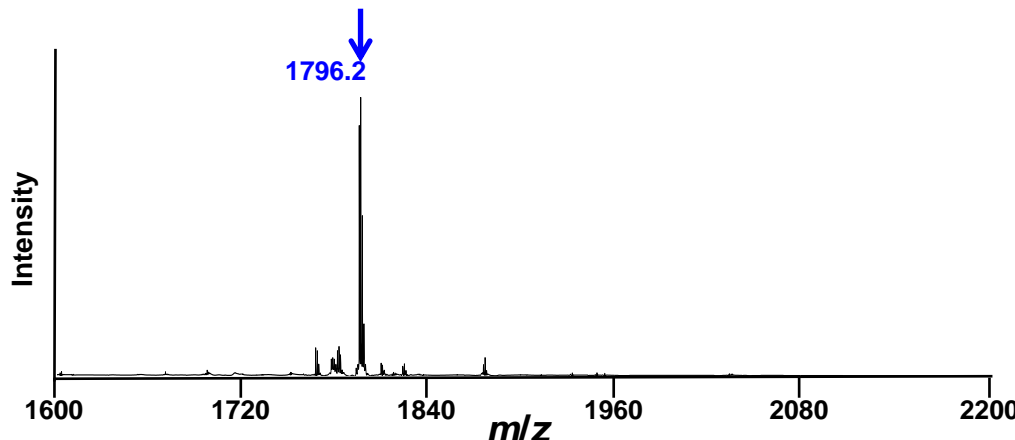


Polymyxin  
Resistant  
(Chromosome)

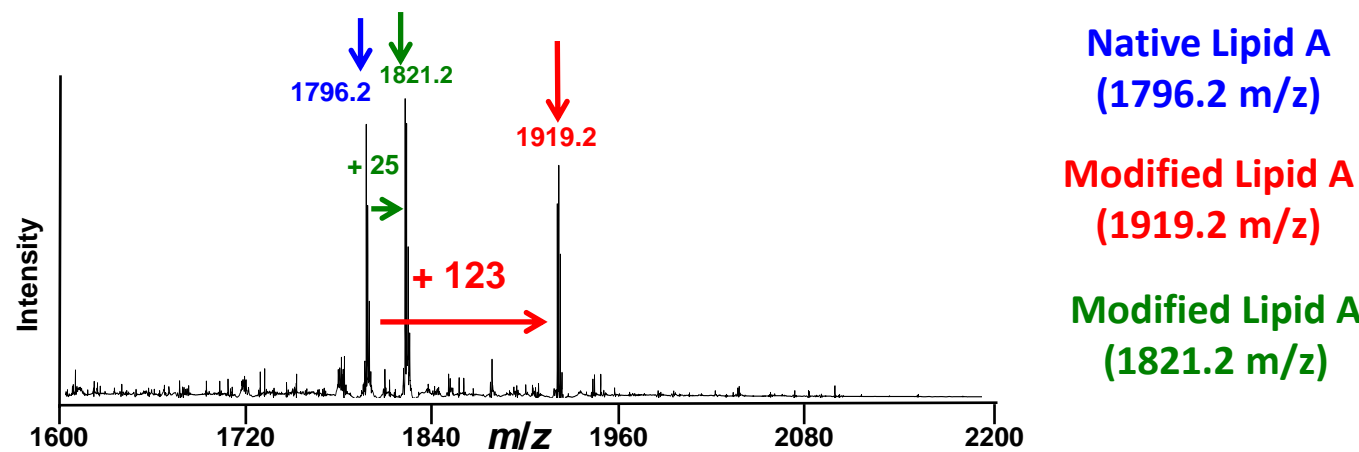


# *E. coli*

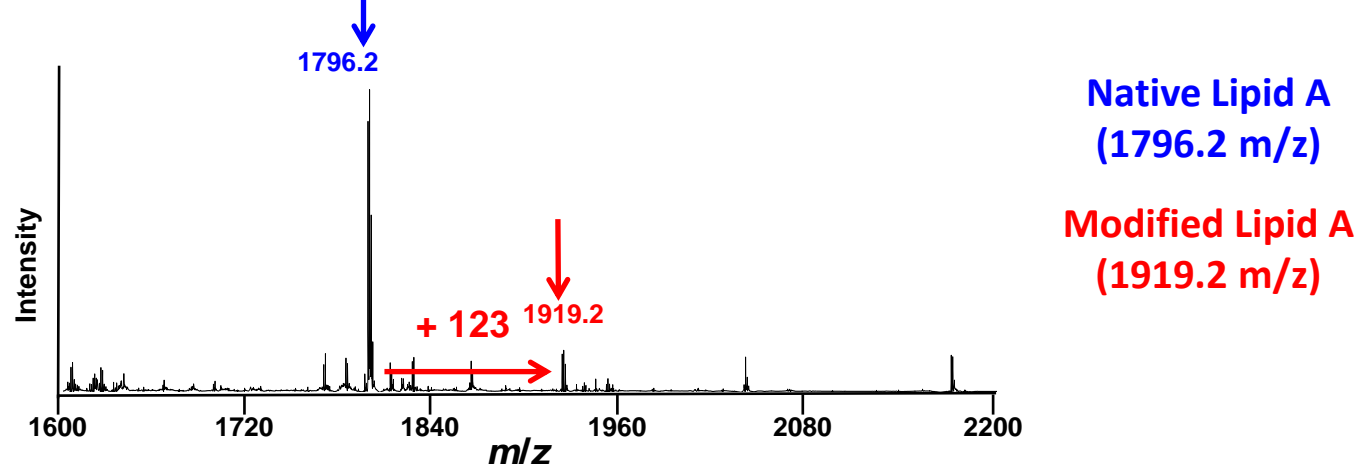
Polymyxin  
susceptible



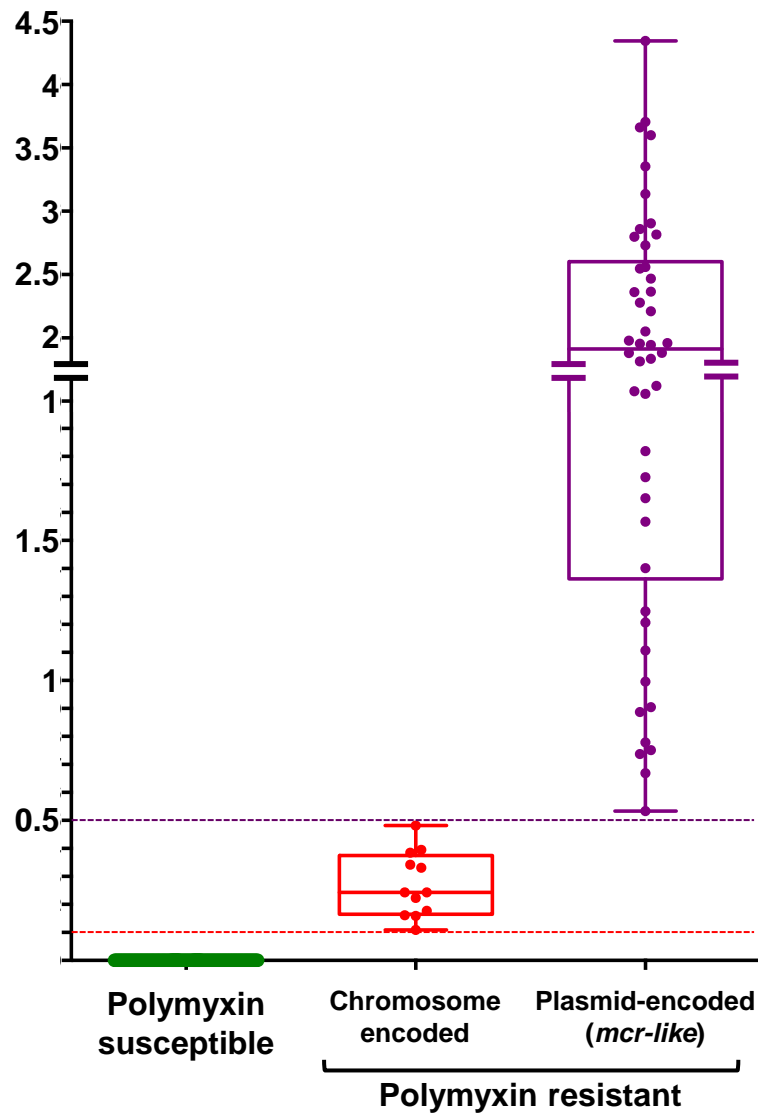
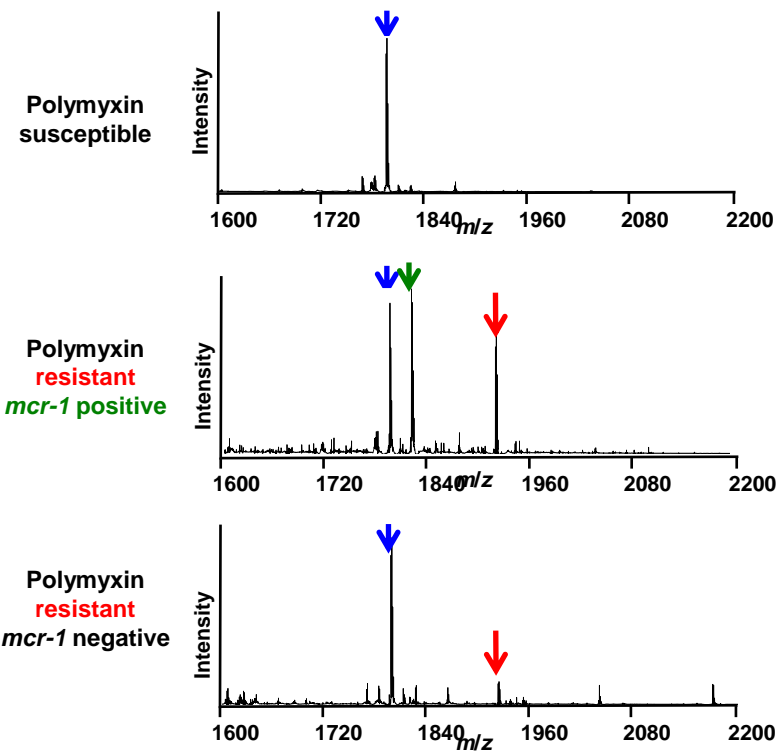
Polymyxin  
resistant  
*mcr-1* positive



Polymyxin  
resistant  
*mcr-1* negative



$$\text{PRR}_{E. coli} = \frac{I_{1919} + I_{1821}}{I_{1796}}$$



# Already validated on :

---

- *E. coli* (n=79) including 33 polymyxin-resistant strains within 29 MCR producers (18 MCR-1, two MCR-1.5, three MCR-2, two MCR-3 and four MCR-5)
- Prospective study : 78 carbapenemase-producing *E. coli* including 3 MCR-1 producers

# Conclusions

---

- **Rapid** (< 15 min) and **cost-effective** technique that offers a reliable tool for identification of polymyxin resistant *Enterobacteriaceae*
- **Discrimination between chromosome and plasmid-encoded resistance** in *Enterobacteriaceae*
- **Also works on non-fermenters** such as *Acinetobacter baumannii*

Day 0 Day 1 Day 2 Day 3 Day 4 1-3 weeks

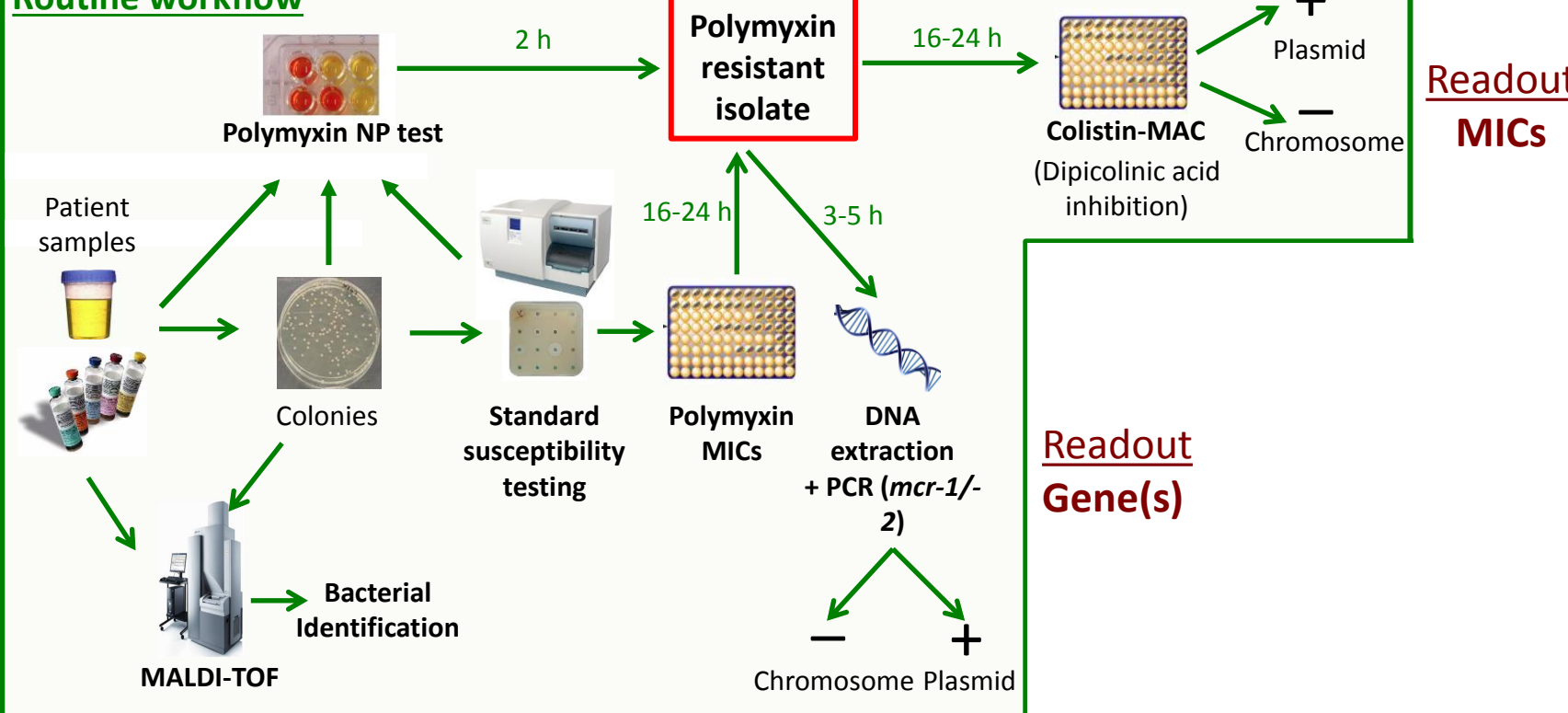
### Research workflow

Liters of bacterial culture



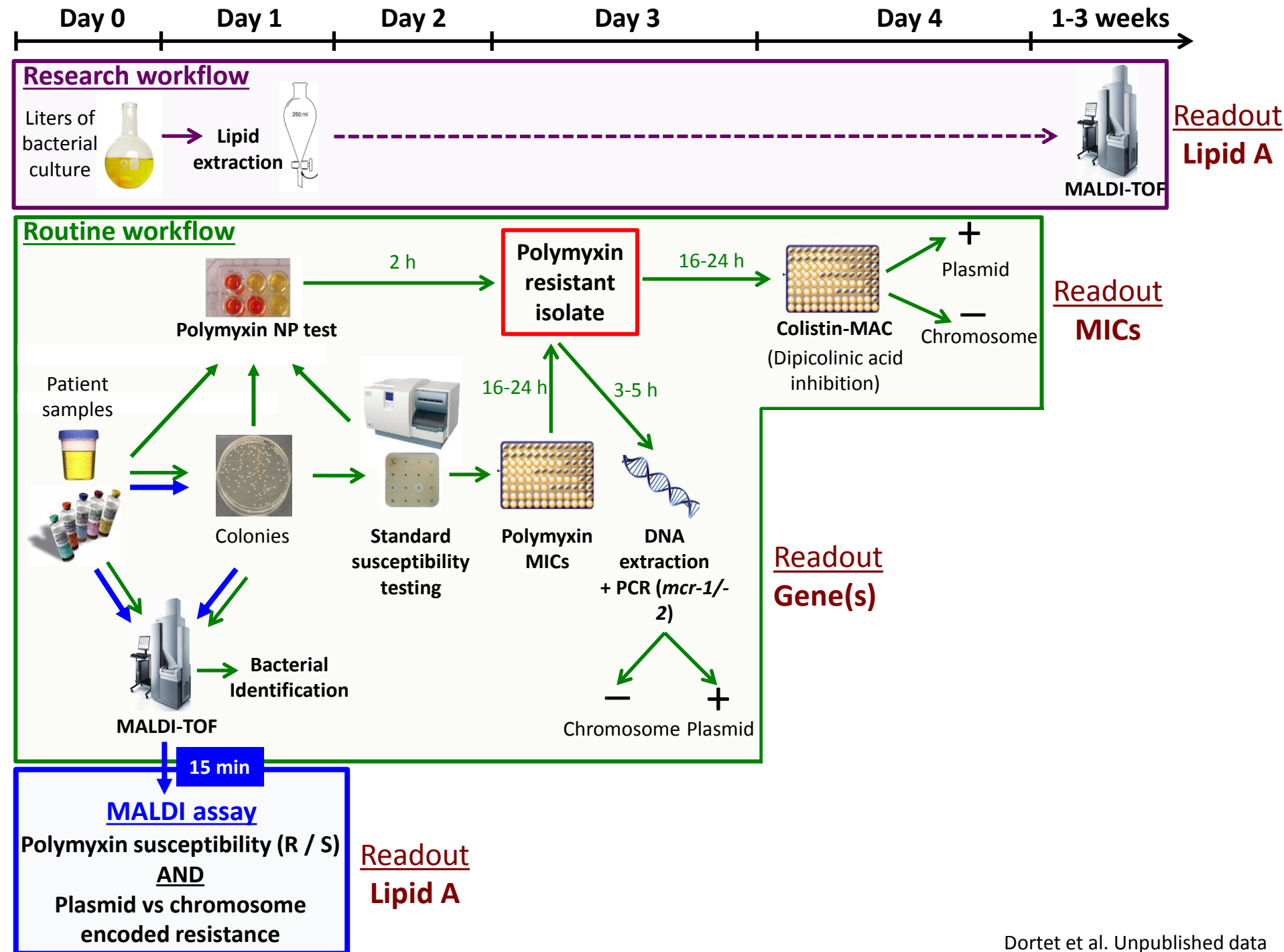
Readout  
**Lipid A**

### Routine workflow



Readout  
**MICs**

Readout  
**Gene(s)**

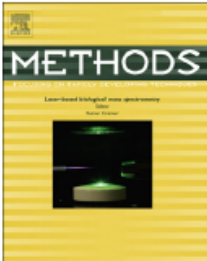


# Détection de protéines directement responsables de la résistance ( $\beta$ -lactamases, PLP2a)

- Pour les **protéines non détectables par spectrométrie de masse globale** sur bactéries entières, possibilité d'utiliser **une approche MS/MS**
- Extraction protéique + digestion + LC-MS/MS
- Identification profil de fragmentation compatible avec la masse ionisée du peptide parental
- Applications: PLP2a (SARM), quelques BLSE (CTX-M-1 groupe), quelques carbapénèmases (VIM-1)

# CONCLUSIONS

- ❑ Différentes techniques utilisant la technologie MALDI-TOF sont en cours de développement avec **2 types de stratégies** :
  - Détection de la sensibilité sans aucune notion sur le mécanisme de résistance = Antibiogramme. Ex: Système ASTRA
  - Détection d'un mécanisme de résistance sans notion sur la sensibilité = Tests complémentaires Ex: Détection des carbapénèmases
- ❑ Une seule technique commercialisée pour la détection des carbapénèmases
- ❑ Difficultés de standardisation

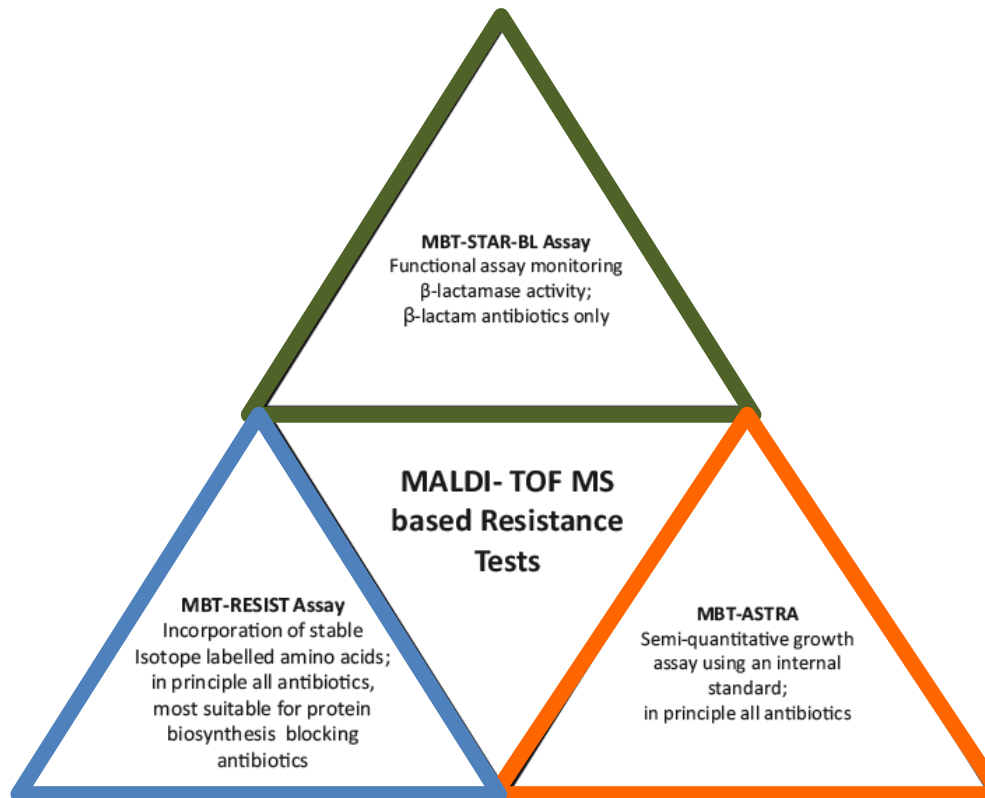


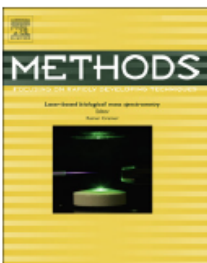
# Methods

journal homepage: [www.elsevier.com/locate/ymeth](http://www.elsevier.com/locate/ymeth)

## MBT-ASTRA: A suitable tool for fast antibiotic susceptibility testing?

Katrin Sparbier<sup>a</sup>, Sören Schubert<sup>b</sup>, Markus Kostrzewa<sup>a,\*</sup>



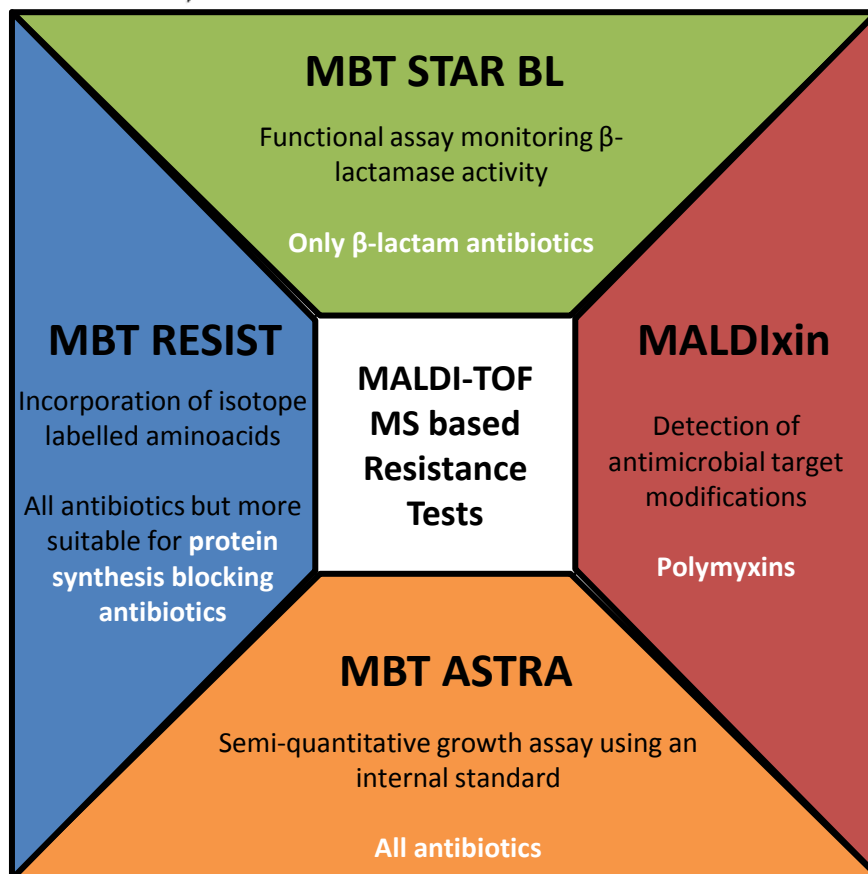


# Methods

journal homepage: [www.elsevier.com/locate/ymeth](http://www.elsevier.com/locate/ymeth)

## MBT-ASTRA: A suitable tool for fast antibiotic susceptibility testing?

Katrin Sparbier<sup>a</sup>, Sören Schubert<sup>b</sup>, Markus Kostrzewa<sup>a,\*</sup>



# Merci de votre attention



Imperial College  
London

